Da investigação sobre a natureza da luz à relatividade especial

Tiago Carvalho Martins*

Faculdade de Física, Universidade Federal do Sul e Sudeste do Pará, UNIFESSPA
68505-080, PA, Brazil

arXiv:1309.2592v1 [physics.hist-ph] 10 Sep 2013

Abstract

It is shown as experiments and theories about the nature of light led to the special theory of relativity. The most important facts for the emergence of the theory proposed by Einstein in 1905 are presented.

Resumo

É mostrado como experimentos e teorias sobre a natureza da luz levaram à teoria da relatividade especial. Os fatos mais importantes para o surgimento da teoria proposta por Einstein em 1905 são apresentados.

*tiagocm@ufpa.br

Contents

1 Relatividade especial **3**

2 Natureza, velocidade e momento linear da luz **3**

3 Experimento de Michelson-Morley **6**

4 Hipótese de contração de Lorentz-FitzGerald **8**

5 Transformação galileana versus transformação de Lorentz **9**
5.1 Transformação galileana na mecânica 9
5.2 Transformação galileana no eletromagnetismo 9
5.3 Transformação de Lorentz 11

6 Teoria da relatividade especial **14**
6.1 Intervalo relativístico 14
6.2 Transformação de Lorentz 17
6.3 Simultaneidade 18
6.4 Velocidade máxima das interações e causalidade 19
6.5 Dilatação temporal 19
6.5.1 Paradoxo dos gêmeos 20
6.5.2 Decaimento de múons 20

7 Transformação de velocidades **20**
7.1 Contração das distâncias 21
7.2 Aberração relativística 22
7.3 Efeito Doppler 22
7.3.1 Deslocamento para o vermelho 23
7.3.2 Experimento de Ives-Stilwell 24

8 Massa relativística **24**

9 Energia cinética relativística **25**

10 Energia relativística **26**

A Cálculo de c **27**

B Pressão de radiação **27**

References **28**

1 Relatividade especial

Em 1905, Albert Einstein lançou os fundamentos da teoria da relatividade especial [1], dando origem à mecânica relativística, que em relação à mecânica clássica, constitui-se numa teoria mais precisa e condizente com os resultados experimentais. Aqui serão discutidos alguns rudimentos dessa teoria. Textos mais aprofundados podem ser encontrados em [2, 3].

2 Natureza, velocidade e momento linear da luz

Na antiguidade, Pitágoras de Samos no século VI a.C. acreditava que a luz era formada por partículas e Aristóteles de Estagira no século IV a.C. defendia que a luz propagava-se como onda em um meio denominado de *éter*. Na renascença, Robert Hooke em seu livro *Micrographia* (1665) fala da luz como uma vibração comunicada através de um meio [4]. Em 1671, Isaac Newton após trabalhar com experimentos em óptica, propõe uma teoria corpuscular para a luz [5]. Em 1690, Christiaan Huygens desenvolveu a teoria ondulatória da luz, a partir do estudo da reflexão e refração [6]. Na idade moderna, Thomas Young publica seus trabalhos sobre o fenômeno da interferência da luz [7], em 1804. Posteriormente, surgiriam os trabalhos de Augustin-Jean Fresnel sobre a difração, interferência e polarização da luz [8].

Os primeiros cálculos para a velocidade da luz foram obtidos a partir de observações astronômicas. A partir de dados coletados por Ole Christensen RØmer em 1675, referentes ao eclipse de Io (uma das luas de Júpiter), Christiaan Huygens estimou a velocidade da luz [6] (algo equivalente a $c = 213\ 333\ 333\ m/s$). Em 1829, James Bradley estudando o fenômeno da *aberração estelar*, encontrou para a luz uma velocidade $c = 304\ 000\ 000\ m/s$ [9].

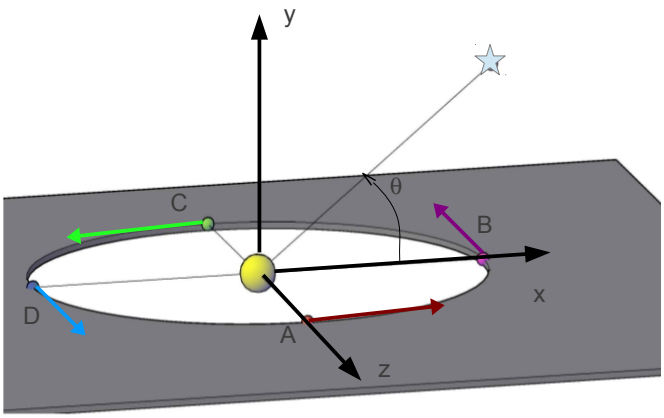


Figure 1: James Bradley buscava um método de mensurar as distâncias estelares em termos do diâmetro da órbita da Terra. Ele acreditava que a altitude (expressa pelo ângulo θ) da estrela γ-Draconis pareceria maior em B do que em D, e que as altitudes seriam iguais em A e C. Contudo, após realizar suas observações, constatou que a altitude era máxima em A e mínima em C, e as altitudes em B e D eram iguais, mas a estrela apresentava desvios para a direita e para a esquerda, respectivamente. Ele conseguiu explicar esse movimento aparente da estrela em termos do movimento da Terra em sua órbita em torno do Sol.

Em 1849, Hippolyte Fizeau mediu a velocidade da luz através do experimento ilustrado na figura 4 [10], obtendo uma velocidade da luz de $c = 313\ 274\ 304\ m/s$. Em 1962, Foucault refinou esse experimento [11], utilizando espelhos rotativos em vez de uma roda dentada, e obteve um melhor resultado: $c = 298\ 000\ 000\ m/s$.

Em 1865, James Clerk Maxwell calculou a velocidade da luz teoricamente [12] (um cálculo usando a notação vetorial é apresentado no apêndice A), utilizando os parâmetros eletrodinâmicos obtidos por Weber e Kohlrausch [13], obtendo $c = 310\ 740\ 000\ m/s$, estando de acordo com os resultados experimentais obtidos por Fizeau e Foucault. A posição de destaque assumida pela teoria ondulatória da luz em detrimento da teoria corpuscular duraria até 1905, quando Einstein propôs a ideia de que a luz é formada por partículas (posteriormente denominadas de fótons). A partir dessa teoria, ele conseguiu explicar o efeito fotoelético [14], estabelecendo que

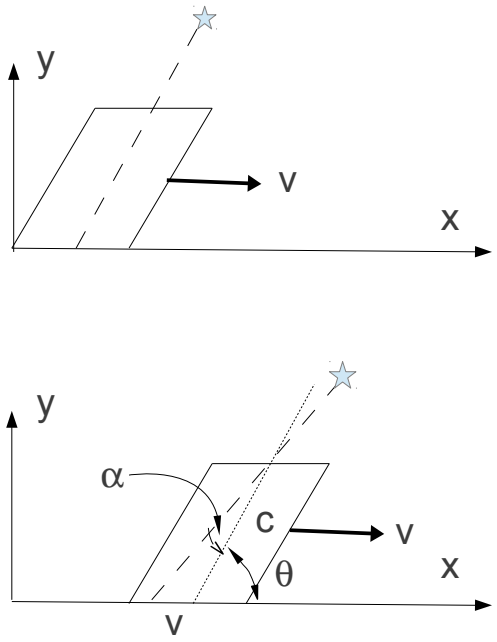


Figure 2: Se o telescópio avança em direção à estrela (como ocorre no ponto A), a altitude da estrela parece menor. Utilizando a lei dos senos, vemos que o ângulo de desvio α (ângulo de aberração) é dado por $\alpha \approx \frac{v}{c} sen\theta$. Utilizando o mesmo raciocínio para o ponto C, temos $\alpha \approx -\frac{v}{c} sen\theta$, ou seja, a estrela aparenta ter maior altitude.

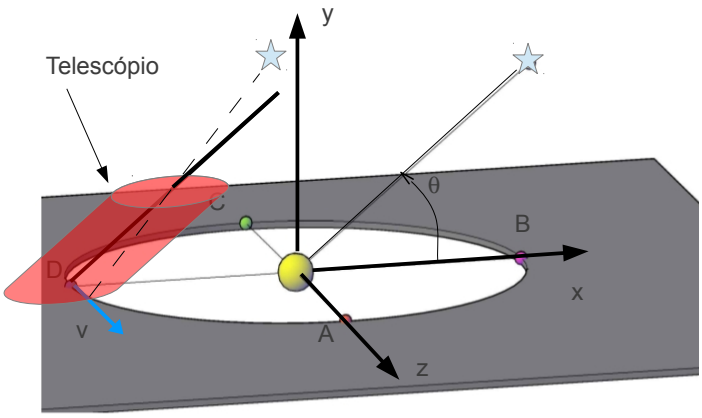


Figure 3: Nos pontos B e D a Terra não se afasta nem se aproxima da estrela, portanto, ela aparece em uma altitude dada por θ, mas aparenta estar deslocada para a direita no ponto B e para a esquerda no ponto D. Observando a figura, notamos que esses desvios são de mesma magnitude, dados por $\alpha \approx \frac{v}{c}$. Esse valor de α obtido foi de cerca de $20,6$", para uma velocidade orbital da Terra de $v = 30\ Km/s$, dá um valor aproximado de $c = 300\ 000\ 000\ m/s$.

um aumento na energia produz um aumento na frequência do fóton, mas não altera a sua velocidade; sendo c, uma constante fundamental da natureza.

A velocidade de uma onda mecânica é sempre definida com relação a um referencial, por exemplo, quando dizemos que a velocidade do som é de 340 m/s, estamos nos referindo a velocidade com relação às moléculas

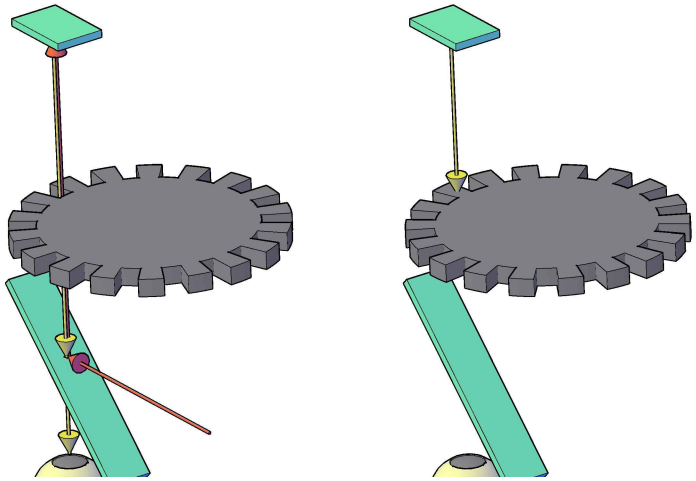


Figure 4: Experimento utilizado por Fizeau para medir a velocidade de propagação da luz. Na figura do lado direito os raios incidentes não foram representados. Nesse experimento, um feixe de luz é parcialmente refletido por um espelho semi-prateado, o feixe luminoso refletido atravessa uma das fendas da roda dentada que gira com velocidade angular $\omega = 2\pi f$, atinge um espelho localizado a uma distância d e volta, podendo atravessar, caso encontre uma fenda; ou não, caso encontre um dente.

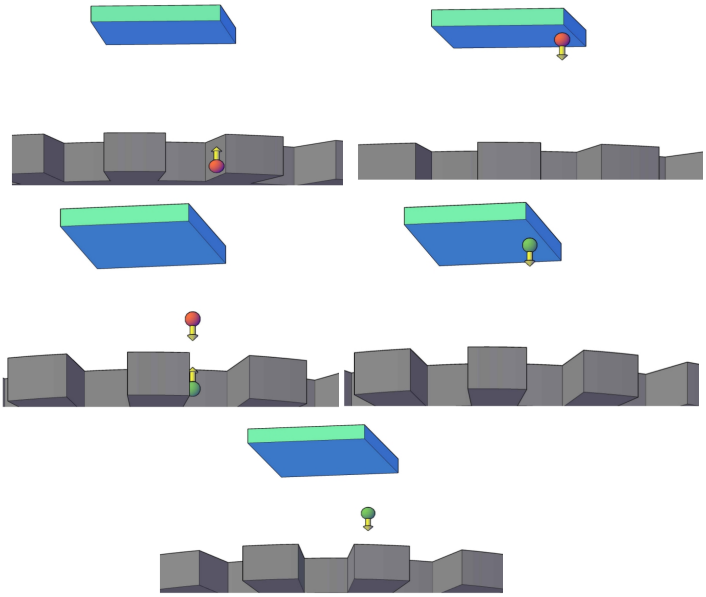


Figure 5: Em geral, alguns raios sempre chegam ao olho do observador. Os poucos casos em que isso não acontece, ocorrem quando o feixe incidente atravessa uma fenda no exato momento em que uma fenda surge e volta no exato momento em que um dente aparece. Nesse caso, o último raio que atravessa a fenda volta quando a próxima fenda ainda está na iminência de surgir. Dessa forma, se o tempo de ida e volta da luz ($= 2d/c$) coincide com o tempo ($= \theta/\omega$) para a roda girar de um ângulo θ (igual ao ângulo central correspondente a uma fenda), então, nenhuma luz é vista pelo observador. No experimento de Fizeau, o espelho estava fixo a uma distância $d = 8633\ m$, a roda dentada possuia 720 *dentes* e girava com uma frequência de $f = 12.6\ Hz$, quando eclipsou a luz. Logo, a velocidade da luz obtida foi de $c = 313\ 274\ 304\ m/s$.

de ar. Então surge a pergunta: "A velocidade da luz de $c = 299\ 792\ 458\ m/s$ é medida em relação a que referencial?" A resposta dos físicos a época de Maxwell é a de que existiria um meio, denominado de *éter luminífero*, em relação ao qual a luz mover-se-ia com velocidade c. Essa teoria foi derrubada pelo experimento de Michelson e Morley. Em 1905, a teoria da relatividade especial daria uma resposta a esse problema: c é o mesmo para todos os referenciais inerciais, ou seja, não existe um referencial privilegiado.

Maxwell previu teoricamente que as ondas eletromagnéticas além de enegia, transportam momento linear [15] (um cálculo simplificado é apresentado no apêndice B), e portanto, exercem uma pressão sobre os objetos em que incidem (pressão de radiação). Esse fato foi comprovado posteriormente através de experimentos [16].

Se uma onda eletromagnética incide sobre uma placa condutora, o momento linear p_e exercido sobre um elétron da placa é:

$$p_e = \frac{U_e}{c}. \tag{2.1}$$

Em que U_e é a energia absorvida pelo elétron. Em termos do fóton, podemos dizer que a energia $E_f = hf$ de um fóton de momento linear p_f é:

$$E_f = cp_f \tag{2.2}$$

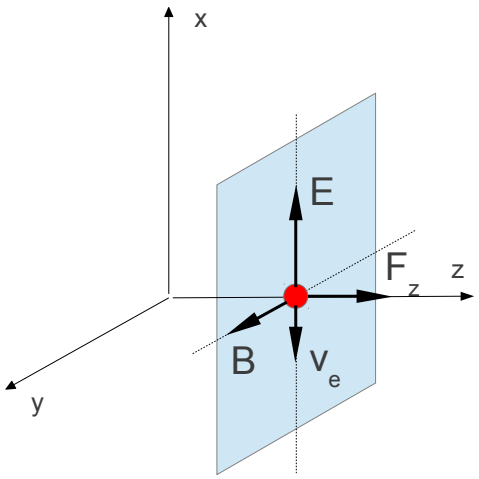


Figure 6: Pressão de radiação: a onda eletromagnética exerce uma força F_z sobre o elétron.

3 Experimento de Michelson-Morley

Em 1887, o experimento de Michelson-Morley falhou em seu objetivo de tentar comprovar a existência do hipotético *éter luminífero* [17] (o qual seria o referencial absoluto em relação ao qual a velocidade da luz é medida), contudo, a verdadeira importância desse experimento é que ele demonstra que a velocidade da luz é sempre a mesma para diferentes referenciais inerciais.

O feixe de luz do interferômetro alinhado com a direção do movimento de translação da Terra, pela lei de adição de velocidades, percorreria a distância l duas vezes, ora com velocidade $c + v$, ora com velocidade $c - v$ (ver figura 8), portanto, o tempo t_1 gasto nesse percurso é:

$$t_1 = \frac{l}{c-v} + \frac{l}{c+v} = l\frac{2c}{c^2 - v^2} = \frac{2l}{c}\gamma^2 \tag{3.1}$$

onde $\gamma = \frac{1}{\sqrt{1-\beta^2}}$, com $\beta = v/c = 1 \times 10^{-4}$ (pois $v \approx 30\ Km/s$).

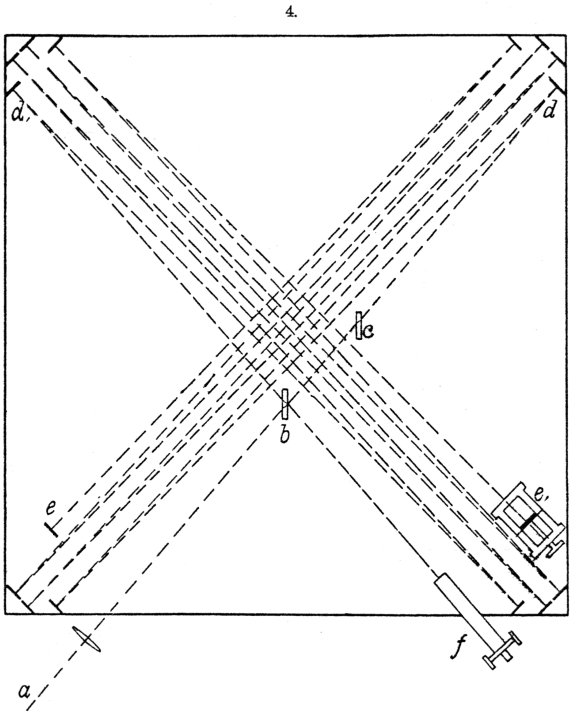


Figure 7: O feixe de luz emitido pela fonte a incide no divisor de luz b (um espelho semi-prateado) e é dividido em dois feixes de luz, os quais vão em direção aos espelhos d e d' (c é uma lâmina de vidro que compensa o fato dos raios oriundos de b não atravessarem a mesma espessura de vidro), os feixes de luz sofrem várias reflexões até atingirem os espelhos e e e' e retornam para b onde são unidos novamente, indo em direção ao telescópio f onde são observadas as franjas de interferência produzidas. No total, cada feixe de luz percorre uma distância $l = 2 \times 10^6 \lambda$, entre a saída e chegada em b.

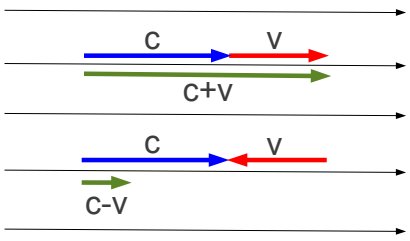


Figure 8: As linhas representam o movimento do éter. O feixe de luz do interferômetro alinhado com a direção do movimento de translação da Terra, pela lei de adição de velocidades, percorreria a distância l duas vezes, ora com velocidade $c + v$, ora com velocidade $c - v$.

Por sua vez, se o feixe de luz estiver alinhado perpendicularmente com a direção do movimento de translação da Terra, pela lei de adição de velocidades, tem-se $c^2 = \left(\frac{l}{t_2/2}\right)^2 + v^2$ (ver figura 9), portanto, o tempo t_2 gasto nesse percurso é:

$$t_2 = \frac{2l}{c}\gamma \tag{3.2}$$

Dessa forma, o feixe de luz que está alinhado perpendicularmente à direção do movimento de translação da Terra chega com um atraso de tempo $\Delta t = t_1 - t_2$ com relação ao que está alinhado paralelamente à direção de movimento, dado por:

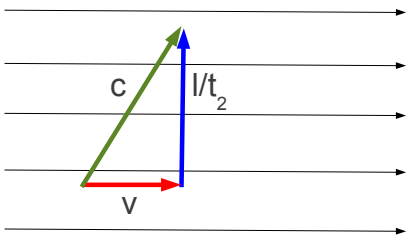


Figure 9: se o feixe de luz estiver alinhado perpendicularmente com a direção do movimento de translação da Terra, pela lei de adição de velocidades, tem-se $c^2 = \left(\frac{l}{t_2/2}\right)^2 + v^2$.

$$\Delta t = t_1 - t_2 = \frac{2l}{c}(\gamma^2 - \gamma) = \frac{2l}{c}[(1-\beta^2)^{-1} - (1-\beta^2)^{-1/2}] \tag{3.3}$$

Como $\beta << 1$, valem as aproximações $(1-\beta^2)^{-1} \approx 1+\beta^2$ e $(1-\beta^2)^{-1/2} \approx 1+\beta^2/2$, as quais podem ser obtidas a partir da aproximação linear de $(1+x)^n \approx 1+n(1+x)$, portanto:

$$\Delta t \approx \frac{l}{c}\beta^2 \tag{3.4}$$

Como os feixes possuem uma mesma frequência, ocorre interferência. O deslocamento δ produzido nas franjas de interferência é dado pela razão entre a diferença de percurso $c\Delta t$ e o comprimento de onda λ é:

$$\delta_1 = \frac{l}{\lambda}\beta^2 \tag{3.5}$$

Se o interferômetro for girado de $\pi/2$ rad, tem-se:

$$\delta_2 = -\frac{l}{\lambda}\beta^2 \tag{3.6}$$

Como $v \approx 30$ Km/s, e $c \approx 300\ 000$ Km/s, então $\beta = 10^{-4}$. Dessa forma, o deslocamento de franjas total máximo obtido deve ser:

$$\delta = 2\frac{l}{\lambda}\beta^2 = 0,04\ franjas \tag{3.7}$$

Contudo, nenhum deslocamento de franjas significativo foi detectado pelo experimento.

4 Hipótese de contração de Lorentz-FitzGerald

Em trabalhos de 1889 e 1892, respectivamente, George FitzGerald e Hendrik Lorentz propuseram a hipótese de contração de Lorentz-FitzGerald [18, 19], a fim de conciliar a existência do éter com uma explicação para o resultado nulo do experimento de Michelson-Morley. Segundo essa hipótese, a dimensão de um objeto na direção do movimento em relação ao éter seria contraida. Isso aconteceria com os braços do interferômetro, portanto, de **3**.3 ter-se-ia:

$$\Delta t = t_1 - t_2 = \frac{2l_1}{c}\gamma^2 - \frac{2l_2}{c}\gamma \Rightarrow l_1 = \frac{l_2}{\gamma}. \tag{4.1}$$

Um experimento similar ao interferômetro de Michelson-Morley foi proposto por Kennedy e Thorndike [20], mas com braços de comprimentos diferentes. Esse experimento mostrou-se incompatível com a hipótese de contração de Lorentz-FitzGerald, pois necessitava levar em conta o efeito de dilatação temporal, o qual é previsto pela teoria da relatividade especial.

5 Transformação galileana versus transformação de Lorentz

5.1 Transformação galileana na mecânica

Todo fenômeno físico é descrito em relação a um referencial. O referencial é o sistema em relação ao qual são feitas as medidas das coordenadas espaciais x, y e z que indicam a posição de uma partícula, assim como, do tempo t decorrido.

Um referencial é dito inercial quando o movimento livre das partículas (movimento com resultante das forças externas nula) ocorre com velocidade constante. Dado um referencial inercial, qualquer outro referencial movendo-se com velocidade constante em relação a ele também será inercial.

Um conjunto de equações que descreve um fenômeno físico em função das coordenadas (t, x, y, z) no referencial inercial S pode ser reescrito em função das coordenadas (t', x', y', z') no referencial inercial S'. Se essa transformação de coordenadas preserva a forma das equações (*leis físicas*), dizemos que essas leis físicas são *invariantes* sob tal transformação.

Um fenômeno físico ao ser descrito por um sistema de coordenadas quadridimensional (t, x, y, z) é chamado de *evento*. O espaço vetorial 4-dimensional formado pelos pontos (t, x, y, z) é chamado de *espaço de Minkowski*.

Dados um referencial inercial S' que se move com velocidade constante $\vec{v}$ em relação ao referencial inercial S, a mudança de coordenadas de S para S' é chamada de *transformação galileana*, dada por:

$$\vec{r'} = \vec{r} - \vec{v}t, \qquad\qquad t' = t \tag{5.1}$$

As velocidades $\vec{u}(t)$ em S e $\vec{u'}(t)$ em S', para uma partícula de posições $\vec{r}(t)$ em S e $\vec{r'}(t)$ em S', são dadas por:

$$\vec{u} = \frac{d\vec{r}}{dt}, \qquad \vec{u'} = \frac{d\vec{r'}}{dt'} = \frac{d\vec{r'}}{dt}\frac{dt}{dt'} = \frac{d\vec{r'}}{dt} = \frac{d(\vec{r} - \vec{v}t)}{dt} = \frac{d\vec{r}}{dt} - \vec{v} = \vec{u} - \vec{v} \tag{5.2}$$

A seu turno, as acelerações $\vec{a}(t)$ em S e $\vec{a'}(t)$ em S' são:

$$\vec{a} = \frac{d\vec{u}}{dt}, \qquad \vec{a'} = \frac{d\vec{u'}}{dt'} = \frac{d\vec{u'}}{dt}\frac{dt}{dt'} = \frac{d\vec{u'}}{dt} = \frac{d(\vec{u} - \vec{v})}{dt} = \frac{d\vec{u}}{dt} \qquad \Rightarrow \vec{a'} = \vec{a} \tag{5.3}$$

O movimento de uma partícula de massa m é descrita na mecânica através da segunda lei de Newton, que nos referenciais S e S' apresentam as formas:

$$\vec{F_R} = m\vec{a}, \qquad \vec{F'_R} = m\vec{a'} \qquad \Rightarrow \vec{F'_R} = \vec{F_R} \tag{5.4}$$

Isso significa que a partícula apresenta as mesmas equações de movimento tanto em S quanto em S'. Em outras palavras, *as equações de movimento da mecânica são invariantes sob uma transformação galileana.* Além disso, como todos os referenciais inerciais apresentam as mesmas equações de movimento, é possível afirmar que *não existe um referencial inercial preferencial para as equações de movimento da mecânica.* Dessa forma, não há nenhum experimento mecânico que se possa realizar dentro de um laboratório através do qual possamos descobrir a velocidade absoluta do mesmo, medida em relação a um referencial de repouso absoluto, ou seja, *na mecânica não existem referenciais de repouso absoluto.* Assim, a relatividade galileana estabelece que o estado de repouso ou movimento é relativo, pois, só é possível afirmar que um corpo possui certa velocidade ou está em repouso em relação a um certo referencial.

Os resultados do experimento de Michelson-Morley demonstraram que para a luz também não existe um referencial privilegiado, portanto, espera-se que as equações de Maxwell, que são as leis que descrevem o comportamento dos campos eletromagnéticos, também sejam invariantes sob uma transformação galileana.

5.2 Transformação galileana no eletromagnetismo

Considerando uma função vetorial da posição e do tempo $\vec{F}(t, x, y, z)$ e reescrevendo (**5**.1) na forma escalar:

$$\begin{aligned} x' &= x - v_x t \\ y' &= y - v_y t \\ z' &= x - v_z t \\ t' &= t \end{aligned} \tag{5.5}$$

O cálculo de $\frac{\partial}{\partial t}$, $\frac{\partial}{\partial x}$, $\frac{\partial}{\partial y}$ e $\frac{\partial}{\partial z}$ é feito pela regra da cadeia:

$$\begin{aligned}\frac{\partial}{\partial t} &= \frac{\partial t'}{\partial t}\frac{\partial}{\partial t'} + \frac{\partial x'}{\partial t}\frac{\partial}{\partial x'} + \frac{\partial y'}{\partial t}\frac{\partial}{\partial y'} + \frac{\partial z'}{\partial t}\frac{\partial}{\partial z'} \\ &= \frac{\partial}{\partial t'} - v_x\frac{\partial}{\partial x'} - v_y\frac{\partial}{\partial y'} - v_z\frac{\partial}{\partial z'} \\ &= \frac{\partial}{\partial t'} - \vec{v}\cdot\nabla' \end{aligned} \tag{5.6}$$

$$\frac{\partial}{\partial x} = \frac{\partial x'}{\partial x}\frac{\partial}{\partial x'} + \frac{\partial y'}{\partial x}\frac{\partial}{\partial y'} + \frac{\partial z'}{\partial x}\frac{\partial}{\partial z'} + \frac{\partial t'}{\partial x}\frac{\partial}{\partial t'} = \frac{\partial}{\partial x'} \tag{5.7}$$

$$\frac{\partial}{\partial y} = \frac{\partial x'}{\partial x}\frac{\partial}{\partial x'} + \frac{\partial y'}{\partial x}\frac{\partial}{\partial y'} + \frac{\partial z'}{\partial x}\frac{\partial}{\partial z'} + \frac{\partial t'}{\partial x}\frac{\partial}{\partial t'} = \frac{\partial}{\partial y'} \tag{5.8}$$

$$\frac{\partial}{\partial z} = \frac{\partial x'}{\partial x}\frac{\partial}{\partial x'} + \frac{\partial y'}{\partial x}\frac{\partial}{\partial y'} + \frac{\partial z'}{\partial x}\frac{\partial}{\partial z'} + \frac{\partial t'}{\partial x}\frac{\partial}{\partial t'} = \frac{\partial}{\partial z'} \tag{5.9}$$

Portanto:

$$\nabla' = (\frac{\partial}{\partial x'}, \frac{\partial}{\partial y'}, \frac{\partial}{\partial z'}) = (\frac{\partial}{\partial x}, \frac{\partial}{\partial y}, \frac{\partial}{\partial z}) = \nabla \tag{5.10}$$

Como $\vec{v}$ é constante, então, $\nabla'\cdot\vec{v} = 0$ e $(\vec{F}\cdot\nabla')\vec{v} = 0$, os quais podem ser substituídos na identidade vetorial a seguir:

$$\begin{aligned}\nabla'\times(\vec{v}\times\vec{F}) &= \vec{v}(\nabla'\cdot\vec{F}) - \vec{F}(\nabla'\cdot\vec{v}) + (\vec{F}\cdot\nabla')\vec{v} - (\vec{v}\cdot\nabla')\vec{F} \\ \nabla'\times(\vec{v}\times\vec{F}) &= \vec{v}(\nabla'\cdot\vec{F}) - (\vec{v}\cdot\nabla')\vec{F} \Rightarrow -(\vec{v}\cdot\nabla')\vec{F} = \nabla'\times(\vec{v}\times\vec{F}) - \vec{v}(\nabla'\cdot\vec{F}) \end{aligned} \tag{5.11}$$

Os vetores que aparecem nas equações (**A**.1), (**A**.2), (**A**.3) e (**A**.4), com relação ao referencial inercial S, são funções da posição $\vec{r}$ e do tempo t: $\vec{E}(\vec{r},t)$, $\vec{H}(\vec{r},t)$, $\vec{D}(\vec{r},t)$ e $\vec{B}(\vec{r},t)$. Contudo, com relação ao referencial inercial S', esses vetores são funções da posição $\vec{r'}$ e do tempo t': $\vec{E}'(\vec{r'},t')$, $\vec{H}'(\vec{r'},t')$, $\vec{D}'(\vec{r'},t')$ e $\vec{B}'(\vec{r'},t')$.

Para realizar a transformação galileana da lei de Faraday, substituimos (**5**.10) e (**5**.6) em (**A**.1), e em seguida utilizamos (**5**.11), obtendo:

$$\begin{aligned}\nabla'\times\vec{E} &= -\frac{\partial\vec{B}}{\partial t'} - \nabla'\times(\vec{v}\times\vec{B}) + \vec{v}(\nabla'\cdot\vec{B}) \\ \Rightarrow \nabla'\times(\vec{E} + \vec{v}\times\vec{B}) &= -\frac{\partial\vec{B}}{\partial t'} + \vec{v}(\nabla'\cdot\vec{B}) \end{aligned} \tag{5.12}$$

Por sua vez, para realizar a transformação galileana da lei de Ampere, substituimos (**5**.10) e (**5**.6) em (**A**.2), e em seguida utilizamos (**5**.11), obtendo:

$$\begin{aligned}\nabla'\times\vec{H} &= \vec{J} + \frac{\partial\vec{D}}{\partial t'} + \nabla'\times(\vec{v}\times\vec{D}) - \vec{v}(\nabla'\cdot\vec{D}) \\ \Rightarrow \nabla'\times(\vec{H} - \vec{v}\times\vec{D}) &= \vec{J} + \frac{\partial\vec{D}}{\partial t'} - \vec{v}(\nabla'\cdot\vec{D}) \end{aligned} \tag{5.13}$$

Além disso, para realizar a transformação galileana da equação da continuidade, subs- tituimos (**5**.10) e (**5**.6) em (**A**.5), obtendo:

$$\begin{aligned}\nabla'\times\vec{J} &= -\frac{\partial\rho}{\partial t'} + \vec{v}\cdot(\nabla'\rho) \Rightarrow \nabla'\times\vec{J} = -\frac{\partial\rho}{\partial t'} + \vec{v}\cdot(\frac{\partial\rho}{\partial x'}, \frac{\partial\rho}{\partial y'}, \frac{\partial\rho}{\partial z'}) \\ &= -\frac{\partial\rho}{\partial t'} + v_x\frac{\partial\rho}{\partial x'} + v_y\frac{\partial\rho}{\partial y'} + v_z\frac{\partial\rho}{\partial z'} = -\frac{\partial\rho}{\partial t'} + \frac{\partial(v_x\rho)}{\partial x'} + \frac{\partial(v_y\rho)}{\partial y'} + \frac{\partial(v_z\rho)}{\partial z'} \\ &= -\frac{\partial\rho}{\partial t'} + \nabla'(\rho\vec{v}) \Rightarrow \nabla'\times(\vec{J} - \rho\vec{v}) = -\frac{\partial\rho}{\partial t'} \end{aligned} \tag{5.14}$$

Analisando (**5**.12), (**5**.13) e (**5**.14), concluímos que para preservar a forma das equações (**A**.1), (**A**.2), (**A**.3) e (**A**.4) sob uma transformação galileana de um referencial inercial S para um referencial inercial S', devemos

fazer:

$$\vec{E}' = \vec{E} + \vec{v} \times \vec{B} \tag{5.15}$$
$$\vec{D}' = \vec{D} \tag{5.16}$$
$$\vec{H}' = \vec{H} - \vec{v} \times \vec{D} \tag{5.17}$$
$$\vec{B}' = \vec{B} \tag{5.18}$$
$$\vec{J}' = \vec{J} - \rho\vec{v} \tag{5.19}$$
$$\rho' = \rho \tag{5.20}$$

Multiplicando (**5**.15) por ε_0 e fazendo $\vec{B} = \mu_0\vec{H}$ e, multiplicando (**5**.17) por μ_0 e fazendo $\vec{D} = \varepsilon_0\vec{E}$, serão obtidas duas equações nas quais (**A**.9) é substituída, resultando em:

$$\varepsilon_0\vec{E}' = \varepsilon_0\vec{E} + \varepsilon_0\mu_0\vec{v} \times \vec{H} \Rightarrow \vec{D}' = \vec{D} + \frac{1}{c^2}\vec{v} \times \vec{H} \tag{5.21}$$
$$\mu_0\vec{H}' = \mu_0\vec{H} - \mu_0\varepsilon_0\vec{v} \times \vec{H} \Rightarrow \vec{B}' = \vec{B} - \frac{1}{c^2}\vec{v} \times \vec{E} \tag{5.22}$$

A única maneira de (**5**.21) e (**5**.22) tornarem-se iguais, respectivamente, a (**5**.16) e (**5**.18), seria fazendo $c \to \infty$. Como sabemos que a velocidade da luz é finita, as equações de Maxwell não são invariantes sob uma transformação galileana.

Em 1904, Lorentz apresentou a forma correta para as transformações sofridas pelas equações de Maxwell [21], quando passam do referencial S para o referencial S'. Essas transformações foram denominadas de transformações de Lorentz.

5.3 Transformação de Lorentz

Dados dois referenciais S e S' que se movem um em relação ao outro com velocidade v ao longo do eixo x, uma generalização da transformação galileana, conhecida como transformação de Lorentz, pode ser obtida por:

$$\begin{aligned} x' &= \gamma(x - vt) \\ y' &= y \\ z' &= z \\ t' &= \gamma(t - vx/c^2) \end{aligned} \tag{5.23}$$

O cálculo de $\frac{\partial}{\partial t}$, $\frac{\partial}{\partial x}$, $\frac{\partial}{\partial y}$ e $\frac{\partial}{\partial z}$ é feito pela regra da cadeia:

$$\frac{\partial}{\partial x} = \frac{\partial x'}{\partial x}\frac{\partial}{\partial x'} + \frac{\partial y'}{\partial x}\frac{\partial}{\partial y'} + \frac{\partial z'}{\partial x}\frac{\partial}{\partial z'} + \frac{\partial t'}{\partial x}\frac{\partial}{\partial t'} = \gamma\frac{\partial}{\partial x'} - \frac{\gamma v}{c^2}\frac{\partial}{\partial t'} \tag{5.24}$$

$$\frac{\partial}{\partial y} = \frac{\partial x'}{\partial y}\frac{\partial}{\partial x'} + \frac{\partial y'}{\partial y}\frac{\partial}{\partial y'} + \frac{\partial z'}{\partial y}\frac{\partial}{\partial z'} + \frac{\partial t'}{\partial y}\frac{\partial}{\partial t'} = \frac{\partial}{\partial y'} \tag{5.25}$$

$$\frac{\partial}{\partial z} = \frac{\partial x'}{\partial z}\frac{\partial}{\partial x'} + \frac{\partial y'}{\partial z}\frac{\partial}{\partial y'} + \frac{\partial z'}{\partial z}\frac{\partial}{\partial z'} + \frac{\partial t'}{\partial z}\frac{\partial}{\partial t'} = \frac{\partial}{\partial z'} \tag{5.26}$$

$$\frac{\partial}{\partial t} = \frac{\partial x'}{\partial t}\frac{\partial}{\partial x'} + \frac{\partial y'}{\partial t}\frac{\partial}{\partial y'} + \frac{\partial z'}{\partial t}\frac{\partial}{\partial z'} + \frac{\partial t'}{\partial t}\frac{\partial}{\partial t'} = \gamma\frac{\partial}{\partial t'} - \gamma v\frac{\partial}{\partial x'} \tag{5.27}$$

Reescrevendo a lei de Gauss do campo magnético (**A**.4) e utilizando as derivadas parciais obtidas anteriomente, temos:

$$\begin{aligned} \nabla \cdot \vec{B} = \frac{\partial B_x}{\partial x} + \frac{\partial B_y}{\partial y} + \frac{\partial B_z}{\partial z} = 0 \\ \Rightarrow \gamma\frac{\partial B_x}{\partial x'} - \gamma\frac{v}{c^2}\frac{\partial B_x}{\partial t'} + \frac{\partial B_y}{\partial y'} + \frac{\partial B_z}{\partial z'} = 0 \\ \Rightarrow \gamma^2 v\frac{\partial B_x}{\partial x'} = \gamma^2\frac{v^2}{c^2}\frac{\partial B_x}{\partial t'} - \gamma v\frac{\partial B_y}{\partial y'} - \gamma v\frac{\partial B_z}{\partial z'} \end{aligned} \tag{5.28}$$

Além disso, reescrevendo a lei de Faraday (**A**.1) e utilizando as derivadas parciais obtidas anteriomente, temos:

$$\begin{aligned}
\frac{\partial E_z}{\partial y} - \frac{\partial E_y}{\partial z} &= -\frac{\partial B_x}{\partial t} \\
\frac{\partial E_z}{\partial y'} - \frac{\partial E_y}{\partial z'} &= -\gamma\frac{\partial B_x}{\partial t'} + \gamma v\frac{\partial B_x}{\partial x'} \\
\gamma\frac{\partial E_z}{\partial y'} - \gamma\frac{\partial E_y}{\partial z'} &= -\gamma^2\frac{\partial B_x}{\partial t'} + \gamma^2 v\frac{\partial B_x}{\partial x'} \\
\gamma\frac{\partial E_z}{\partial y'} - \gamma\frac{\partial E_y}{\partial z'} &= -\gamma^2\frac{\partial B_x}{\partial t'} + \gamma^2\frac{v^2}{c^2}\frac{\partial B_x}{\partial t'} - \gamma v\frac{\partial B_y}{\partial y'} - \gamma v\frac{\partial B_z}{\partial z'} \\
\frac{\partial}{\partial y'}(\gamma E_z + \gamma v B_y) - \frac{\partial}{\partial z'}(\gamma E_y - \gamma v B_z) &= -\gamma^2(1 - \frac{v^2}{c^2})\frac{\partial B_x}{\partial t'}
\end{aligned} \tag{5.29}$$

$$\begin{aligned}
\frac{\partial E_x}{\partial z} - \frac{\partial E_z}{\partial x} &= -\frac{\partial B_y}{\partial t} \\
\frac{\partial E_x}{\partial z'} - \gamma\frac{\partial E_z}{\partial x'} + \frac{\gamma v}{c^2}\frac{\partial E_z}{\partial t'} &= -\gamma\frac{\partial B_y}{\partial t'} + \gamma v\frac{\partial B_y}{\partial x'} \\
\frac{\partial E_x}{\partial z'} - \frac{\partial}{\partial x'}(\gamma E_z + \gamma v B_y) &= -\frac{\partial}{\partial t'}(\gamma B_y + \frac{\gamma v}{c^2}E_z)
\end{aligned} \tag{5.30}$$

$$\begin{aligned}
\frac{\partial E_y}{\partial x} - \frac{\partial E_x}{\partial y} &= -\frac{\partial B_z}{\partial t} \\
\gamma\frac{\partial E_y}{\partial x'} - \frac{\partial E_x}{\partial y'} - \frac{\gamma v}{c^2}\frac{\partial E_y}{\partial t'} &= -\gamma\frac{\partial B_z}{\partial t'} + \gamma v\frac{\partial B_z}{\partial x'} \\
\frac{\partial}{\partial x'}(\gamma E_y - \gamma v B_z) - \frac{\partial E_x}{\partial y'} &= -\frac{\partial}{\partial t'}(\gamma B_z - \frac{\gamma v}{c^2}E_y)
\end{aligned} \tag{5.31}$$

Reescrevendo a lei de Gauss do campo elétrico (**A**.3) e utilizando as derivadas parciais obtidas anteriomente, temos:

$$\begin{aligned}
\nabla\cdot\vec{D} = \frac{\partial D_x}{\partial x} + \frac{\partial D_y}{\partial y} + \frac{\partial D_z}{\partial z} &= \rho \\
\Rightarrow \gamma\frac{\partial D_x}{\partial x'} - \gamma\frac{v}{c^2}\frac{\partial D_x}{\partial t'} + \frac{\partial D_y}{\partial y'} + \frac{\partial D_z}{\partial z'} &= \rho \\
\Rightarrow \gamma^2 v\frac{\partial D_x}{\partial x'} = \gamma^2\frac{v^2}{c^2}\frac{\partial D_x}{\partial t'} - \gamma v\frac{\partial D_y}{\partial y'} - \gamma v\frac{\partial D_z}{\partial z'} &+ \gamma v\rho
\end{aligned} \tag{5.32}$$

Além disso, reescrevendo a lei de Ampere (**A**.2) e utilizando as derivadas parciais obtidas anteriomente, temos:

$$\begin{aligned}
\frac{\partial H_z}{\partial y} - \frac{\partial H_y}{\partial z} &= J_x + \frac{\partial D_x}{\partial t} \\
\frac{\partial H_z}{\partial y'} - \frac{\partial H_y}{\partial z'} &= J_x + \gamma\frac{\partial D_x}{\partial t'} - \gamma v\frac{\partial D_x}{\partial x'} \\
\gamma\frac{\partial H_z}{\partial y'} - \gamma\frac{\partial H_y}{\partial z'} &= \gamma J_x + \gamma^2\frac{\partial D_x}{\partial t'} - \gamma^2 v\frac{\partial D_x}{\partial x'} \\
\gamma\frac{\partial H_z}{\partial y'} - \gamma\frac{\partial H_y}{\partial z'} &= \gamma J_x - \gamma v\rho + \gamma^2\frac{\partial D_x}{\partial t'} - \gamma^2\frac{v^2}{c^2}\frac{\partial D_x}{\partial t'} + \gamma v\frac{\partial D_y}{\partial y'} + \gamma v\frac{\partial D_z}{\partial z'} \\
\frac{\partial}{\partial y'}(\gamma H_z - \gamma v D_y) - \frac{\partial}{\partial z'}(\gamma H_y + \gamma v D_z) &= \gamma(J_x - v\rho) + \gamma^2(1 - \frac{v^2}{c^2})\frac{\partial D_x}{\partial t'}
\end{aligned} \tag{5.33}$$

$$\frac{\partial H_x}{\partial z} - \frac{\partial H_z}{\partial x} = J_y + \frac{\partial D_y}{\partial t}$$
$$\frac{\partial H_x}{\partial z'} - \gamma\frac{\partial H_z}{\partial x'} + \frac{\gamma v}{c^2}\frac{\partial H_z}{\partial t'} = J_y + \gamma\frac{\partial D_y}{\partial t'} - \gamma v\frac{\partial D_y}{\partial x'}$$
$$\frac{\partial H_x}{\partial z'} - \frac{\partial}{\partial x'}(\gamma H_z - \gamma v D_y) = J_y + \frac{\partial}{\partial t'}(\gamma D_y - \frac{\gamma v}{c^2}H_z) \tag{5.34}$$

$$\frac{\partial H_y}{\partial x} - \frac{\partial H_x}{\partial y} = J_z + \frac{\partial D_z}{\partial t}$$
$$\gamma\frac{\partial H_y}{\partial x'} - \frac{\partial H_x}{\partial y'} - \frac{\gamma v}{c^2}\frac{\partial H_y}{\partial t'} = J_z + \gamma\frac{\partial D_z}{\partial t'} - \gamma v\frac{\partial D_z}{\partial x'}$$
$$\frac{\partial}{\partial x'}(\gamma H_y + \gamma v D_z) - \frac{\partial H_x}{\partial y'} = J_z + \frac{\partial}{\partial t'}(\gamma D_z - \frac{\gamma v}{c^2}H_y) \tag{5.35}$$

Logo, para que as equações (5.29), (5.30), (5.31), (5.33), (5.34) e (5.35) sejam passadas para o referencial inercial S', devemos fazer:

$$E'_x = E_x \tag{5.36}$$
$$E'_y = \gamma E_y - \gamma v B_z \tag{5.37}$$
$$E'_z = \gamma E_z + \gamma v B_y \tag{5.38}$$
$$B'_x = B_x \tag{5.39}$$
$$B'_y = \gamma B_y + \frac{\gamma v}{c^2}E_z \tag{5.40}$$
$$B'_z = \gamma B_z - \frac{\gamma v}{c^2}E_y \tag{5.41}$$
$$H'_x = H_x \tag{5.42}$$
$$H'_y = \gamma H_y + \gamma v D_z \tag{5.43}$$
$$H'_z = \gamma H_z - \gamma v D_y \tag{5.44}$$
$$D'_x = D_x \tag{5.45}$$
$$D'_y = \gamma D_y - \frac{\gamma v}{c^2}H_z \tag{5.46}$$
$$D'_z = \gamma D_z + \frac{\gamma v}{c^2}H_y \tag{5.47}$$
$$J'_x = \gamma J_x - \gamma v \rho \tag{5.48}$$
$$J'_y = J_y \tag{5.49}$$
$$J'_z = J_z \tag{5.50}$$
$$\gamma^2(1 - \frac{v^2}{c^2}) = 1 \tag{5.51}$$

Observe que se multiplicarmos (5.36), (5.37) e (5.38) por ε_0 obteremos, respectivamente, (5.45), (5.46) e (5.47), e se multiplicarmos (5.42), (5.43) e (5.44) por μ_0 obteremos, respectivamente, (5.39), (5.40) e (5.41). O valor de γ (denominado de fator de Lorentz) pode ser obtido de (5.51):

$$\gamma^2(1 - \frac{v^2}{c^2}) = 1 \Rightarrow \gamma = \frac{1}{\sqrt{1 - \frac{v^2}{c^2}}} \tag{5.52}$$

Para a mecânica newtoniana tem-se que $v << c$ e, portanto, $\gamma \approx 1$, fazendo com que a transformação de Lorentz seja equivalente a transformação galileana. Portanto, a transformação de Lorentz satisfaz tanto à mecânica newtoniana, quanto à teoria eletromagnética. Para $v > c$ tem-se que $\gamma \to \infty$ e $v > c$ resultaria em γ complexo. Podemos observar também a partir da transformação de Lorentz, que o tempo não é absoluto como estabelecido na mecânica newtoniana, e passa de maneira diferente nos diferentes referenciais inerciais.

6 Teoria da relatividade especial

Em 1905, Einstein propôs a teoria da relatividade especial com base em dois postulados:
1) As leis da física são equivalentes em todos os referenciais inerciais;
2) A velocidade da luz no vácuo é sempre igual a c.

6.1 Intervalo relativístico

Dado um referencial S formado pelos pontos (ct, x, y, z), o deslocamento $\sqrt{(dx)^2 + (dy)^2 + (dz)^2}$ de um sinal luminoso de $(0, 0, 0, 0)$ para (ct, x, y, z) é igual a $cdt = d\tau$, portanto:

$$(d\tau)^2 = (dx)^2 + (dy)^2 + (dz)^2. \tag{6.1}$$

O quadrado da distância infinitesimal ds^2 em S é definido como:

$$(ds)^2 = (d\tau)^2 - (dx)^2 - (dy)^2 - (dz)^2. \tag{6.2}$$

Pelo segundo postulado, fica bem claro que o quadrado da distância percorrida pelo sinal luminoso em um outro referencial S' que se move com velocidade v constante em relação a S é:

$$(d\tau')^2 = (dx')^2 + (dy')^2 + (dz')^2. \tag{6.3}$$

Portanto, o quadrado da distância infinitesimal ds'^2 em S' é:

$$(ds')^2 = (d\tau')^2 - (dx')^2 - (dy')^2 - (dz')^2. \tag{6.4}$$

Logo, para um sinal luminoso, a forma de ds^2 é preservada, ou seja, ds^2 é invariante ($ds^2 = ds'^2 = 0$). Para o movimento de uma partícula, ds^2 continua invariante ($ds^2 = ds'^2 \neq 0$)?

Para responder essa pergunta, é preciso escrever ds^2 em termos das variáveis τ', x', y' e z'.

$$\begin{aligned} \tau &= \tau(\tau', x', y', z') \\ x &= x(\tau', x', y', z') \\ y &= y(\tau', x', y', z') \\ z &= z(\tau', x', y', z') \end{aligned} \tag{6.5}$$

Pela regra da cadeia, tem-se:

$$\begin{aligned} d\tau &= \frac{\partial\tau}{\partial\tau'}d\tau' + \frac{\partial\tau}{\partial x'}dx' + \frac{\partial\tau}{\partial y'}dy' + \frac{\partial\tau}{\partial z'}dz' \\ dx &= \frac{\partial x}{\partial\tau'}d\tau' + \frac{\partial x}{\partial x'}dx' + \frac{\partial x}{\partial y'}dy' + \frac{\partial x}{\partial z'}dz' \\ dy &= \frac{\partial y}{\partial\tau'}d\tau' + \frac{\partial y}{\partial x'}dx' + \frac{\partial y}{\partial y'}dy' + \frac{\partial y}{\partial z'}dz' \\ dz &= \frac{\partial z}{\partial\tau'}d\tau' + \frac{\partial z}{\partial x'}dx' + \frac{\partial z}{\partial y'}dy' + \frac{\partial z}{\partial z'}dz' \end{aligned} \tag{6.6}$$

Calculando $(d\tau)^2$, $(dx)^2$, $(dy)^2$ e $(dz)^2$, tem-se:

$$\begin{aligned} (d\tau)^2 = \frac{\partial\tau}{\partial\tau'}\frac{\partial\tau}{\partial\tau'}(d\tau')^2 + \frac{\partial\tau}{\partial x'}\frac{\partial\tau}{\partial x'}(dx')^2 + \frac{\partial\tau}{\partial y'}\frac{\partial\tau}{\partial y'}(dy')^2 + \frac{\partial\tau}{\partial z'}\frac{\partial\tau}{\partial z'}(dz')^2 \\ +2\frac{\partial\tau}{\partial\tau'}\frac{\partial\tau}{\partial x'}d\tau'dx' + 2\frac{\partial\tau}{\partial\tau'}\frac{\partial\tau}{\partial y'}d\tau'dy' + 2\frac{\partial\tau}{\partial\tau'}\frac{\partial\tau}{\partial z'}d\tau'dz' \\ +2\frac{\partial\tau}{\partial x'}\frac{\partial\tau}{\partial y'}dx'dy' + 2\frac{\partial\tau}{\partial x'}\frac{\partial\tau}{\partial z'}dx'dz' \\ +2\frac{\partial\tau}{\partial y'}\frac{\partial\tau}{\partial z'}dy'dz' \end{aligned} \tag{6.7}$$

$$(dx)^2 = \frac{\partial x}{\partial \tau'}\frac{\partial x}{\partial \tau'}(d\tau')^2 + \frac{\partial x}{\partial x'}\frac{\partial x}{\partial x'}(dx')^2 + \frac{\partial x}{\partial y'}\frac{\partial x}{\partial y'}(dy')^2 + \frac{\partial x}{\partial z'}\frac{\partial x}{\partial z'}(dz')^2 + 2\frac{\partial x}{\partial \tau'}\frac{\partial x}{\partial x'}d\tau' dx' + 2\frac{\partial x}{\partial \tau'}\frac{\partial x}{\partial y'}d\tau' dy' + 2\frac{\partial x}{\partial \tau'}\frac{\partial x}{\partial z'}d\tau' dz' + 2\frac{\partial x}{\partial x'}\frac{\partial x}{\partial y'}dx' dy' + 2\frac{\partial x}{\partial x'}\frac{\partial x}{\partial z'}dx' dz' + 2\frac{\partial x}{\partial y'}\frac{\partial x}{\partial z'}dy' dz' \tag{6.8}$$

$$(dy)^2 = \frac{\partial y}{\partial \tau'}\frac{\partial y}{\partial \tau'}(d\tau')^2 + \frac{\partial y}{\partial x'}\frac{\partial y}{\partial x'}(dx')^2 + \frac{\partial y}{\partial y'}\frac{\partial y}{\partial y'}(dy')^2 + \frac{\partial y}{\partial z'}\frac{\partial y}{\partial z'}(dz')^2 + 2\frac{\partial y}{\partial \tau'}\frac{\partial y}{\partial x'}d\tau' dx' + 2\frac{\partial y}{\partial \tau'}\frac{\partial y}{\partial y'}d\tau' dy' + 2\frac{\partial y}{\partial \tau'}\frac{\partial y}{\partial z'}d\tau' dz' + 2\frac{\partial y}{\partial x'}\frac{\partial y}{\partial y'}dx' dy' + 2\frac{\partial y}{\partial x'}\frac{\partial y}{\partial z'}dx' dz' + 2\frac{\partial y}{\partial y'}\frac{\partial y}{\partial z'}dy' dz' \tag{6.9}$$

$$(dz)^2 = \frac{\partial z}{\partial \tau'}\frac{\partial z}{\partial \tau'}(d\tau')^2 + \frac{\partial z}{\partial x'}\frac{\partial z}{\partial x'}(dx')^2 + \frac{\partial z}{\partial y'}\frac{\partial z}{\partial y'}(dy')^2 + \frac{\partial z}{\partial z'}\frac{\partial z}{\partial z'}(dz')^2 + 2\frac{\partial z}{\partial \tau'}\frac{\partial z}{\partial x'}d\tau' dx' + 2\frac{\partial z}{\partial \tau'}\frac{\partial z}{\partial y'}d\tau' dy' + 2\frac{\partial z}{\partial \tau'}\frac{\partial z}{\partial z'}d\tau' dz' + 2\frac{\partial z}{\partial x'}\frac{\partial z}{\partial y'}dx' dy' + 2\frac{\partial z}{\partial x'}\frac{\partial z}{\partial z'}dx' dz' + 2\frac{\partial z}{\partial y'}\frac{\partial z}{\partial z'}dy' dz' \tag{6.10}$$

Portanto:

$$\begin{aligned}(ds)^2 = {} & \left(\frac{\partial \tau}{\partial \tau'}\frac{\partial \tau}{\partial \tau'} + \frac{\partial x}{\partial \tau'}\frac{\partial x}{\partial \tau'} + \frac{\partial y}{\partial \tau'}\frac{\partial y}{\partial \tau'} + \frac{\partial z}{\partial \tau'}\frac{\partial z}{\partial \tau'}\right)(d\tau')^2 + \left(\frac{\partial \tau}{\partial x'}\frac{\partial \tau}{\partial x'} + \frac{\partial x}{\partial x'}\frac{\partial x}{\partial x'} + \frac{\partial y}{\partial x'}\frac{\partial y}{\partial x'} + \frac{\partial z}{\partial x'}\frac{\partial z}{\partial x'}\right)(dx')^2 + \\ & + \left(\frac{\partial \tau}{\partial y'}\frac{\partial \tau}{\partial y'} + \frac{\partial x}{\partial y'}\frac{\partial x}{\partial y'} + \frac{\partial y}{\partial y'}\frac{\partial y}{\partial y'} + \frac{\partial z}{\partial y'}\frac{\partial z}{\partial y'}\right)(dy')^2 + \left(\frac{\partial \tau}{\partial z'}\frac{\partial \tau}{\partial z'} + \frac{\partial x}{\partial z'}\frac{\partial x}{\partial z'} + \frac{\partial y}{\partial z'}\frac{\partial y}{\partial z'} + \frac{\partial z}{\partial z'}\frac{\partial z}{\partial z'}\right)(dz')^2 + \\ & + 2\left(\frac{\partial \tau}{\partial \tau'}\frac{\partial \tau}{\partial x'} + \frac{\partial x}{\partial \tau'}\frac{\partial x}{\partial x'} + \frac{\partial y}{\partial \tau'}\frac{\partial y}{\partial x'} + \frac{\partial z}{\partial \tau'}\frac{\partial z}{\partial x'}\right)d\tau' dx' + 2\left(\frac{\partial \tau}{\partial \tau'}\frac{\partial \tau}{\partial y'} + \frac{\partial x}{\partial \tau'}\frac{\partial x}{\partial y'} + \frac{\partial y}{\partial \tau'}\frac{\partial y}{\partial y'} + \frac{\partial z}{\partial \tau'}\frac{\partial z}{\partial y'}\right)d\tau' dy' + \\ & + 2\left(\frac{\partial \tau}{\partial \tau'}\frac{\partial \tau}{\partial z'} + \frac{\partial x}{\partial \tau'}\frac{\partial x}{\partial z'} + \frac{\partial y}{\partial \tau'}\frac{\partial y}{\partial z'} + \frac{\partial z}{\partial \tau'}\frac{\partial z}{\partial z'}\right)d\tau' dz' + 2\left(\frac{\partial \tau}{\partial x'}\frac{\partial \tau}{\partial y'} + \frac{\partial x}{\partial x'}\frac{\partial x}{\partial y'} + \frac{\partial y}{\partial x'}\frac{\partial y}{\partial y'} + \frac{\partial z}{\partial x'}\frac{\partial z}{\partial y'}\right)dx' dy' + \\ & + 2\left(\frac{\partial \tau}{\partial x'}\frac{\partial \tau}{\partial z'} + \frac{\partial x}{\partial x'}\frac{\partial x}{\partial z'} + \frac{\partial y}{\partial x'}\frac{\partial y}{\partial z'} + \frac{\partial z}{\partial x'}\frac{\partial z}{\partial z'}\right)dx' dz' + 2\left(\frac{\partial \tau}{\partial y'}\frac{\partial \tau}{\partial z'} + \frac{\partial x}{\partial y'}\frac{\partial x}{\partial z'} + \frac{\partial y}{\partial y'}\frac{\partial y}{\partial z'} + \frac{\partial z}{\partial y'}\frac{\partial z}{\partial z'}\right)dy' dz'\end{aligned} \tag{6.11}$$

A magnitude da velocidade v é a causa da variação de ds^2, portanto, os coeficiente devem ser funções de v. A direção da velocidade não causa nenhuma mudança em ds^2, devido a isotropia do espaço-tempo (não existem direções privilegiadas). Portanto, a equação anterior pode ser reescrita como:

$$\begin{aligned}(ds)^2 = {} & f_{00}(v)(d\tau')^2 + f_{11}(v)(dx')^2 + f_{22}(v)(dy')^2 + f_{33}(v)(dz')^2 + f_{01}(v)d\tau' dx' + \\ & + f_{02}(v)d\tau' dy' + f_{03}(v)d\tau' dz' + f_{12}(v)dx' dy' + f_{13}(v)dx' dz' + f_{23}(v)dy' dz'\end{aligned} \tag{6.12}$$

Para obter uma expressão geral para $(ds)^2$, deve-se ter $(ds)^2 = 0 \Rightarrow (ds')^2 = 0 \Rightarrow (d\tau')^2 = (dx')^2 + (dy')^2 + (dz')^2$. Portanto:

$$0 = [f_{00}(v) + f_{11}(v)](dx')^2 + [f_{00}(v) + f_{22}(v)](dy')^2 + [f_{00}(v) + f_{33}(v)](dz')^2 + f_{01}(v)d\tau' dx' + \\ + f_{02}(v)d\tau' dy' + f_{03}(v)d\tau' dz' + f_{12}(v)dx' dy' + f_{13}(v)dx' dz' + f_{23}(v)dy' dz' \quad (\mathbf{6}.13)$$

Dessa forma, $f_{11}(v) = f_{22}(v) = f_{33}(v) = -f_{00}(v) = -g(v)$ e $f_{01}(v) = f_{02}(v) = f_{03}(v) = f_{12}(v) = f_{13}(v) = f_{23}(v) = 0$. Logo:

$$(d\tau)^2 - (dx)^2 - (dy)^2 - (dz)^2 = g(v)\left[(d\tau')^2 - (dx')^2 - (dy')^2 - (dz')^2\right]. \quad (\mathbf{6}.14)$$

A função $g(v)$ depende apenas da magnitude de v, portanto, a equação anterior não se altera quando o sentido de v é invertido, o que equivale a permutar S e S' entre si. Dessa forma:

$$(d\tau')^2 - (dx')^2 - (dy')^2 - (dz')^2 = g(v)\left[(d\tau)^2 - (dx)^2 - (dy)^2 - (dz)^2\right]. \quad (\mathbf{6}.15)$$

Portanto, $g(v) = \pm 1$. A solução $g(v) = -1$ deve ser descartada, pois no caso de $v = 0$, resultaria em $d\tau = -d\tau$, $dx = -dx$, $dy = -dy$ e $dz = -dz$. Dessa forma, o intervalo $ds = (d\tau)^2 - (dx)^2 - (dy)^2 - (dz)^2$ (chamado de *intervalo relativístico*) é invariante nos diferentes referenciais inerciais. Logo:

$$ds' = ds. \quad (\mathbf{6}.16)$$

Dessa forma:

$$\int_{(ct_1', x_1', y_1', z_1')}^{(ct_2', x_2', y_2', z_2')} ds' = \int_{(ct_1, x_1, y_1, z_1)}^{(ct_2, x_2, y_2, z_2)} ds. \quad (\mathbf{6}.17)$$

Portanto:

$$(s_2' - s_1') = (s_2 - s_1) \Rightarrow \Delta s' = \Delta s. \quad (\mathbf{6}.18)$$

No caso de $(ct_1', x_1', y_1', z_1') = (ct_1, x_1, y_1, z_1) = (0, 0, 0, 0)$, tem-se:

$$s' = s. \quad (\mathbf{6}.19)$$

Existem três casos possíveis para Δs:

$$(\Delta s)^2 = 0 \qquad \text{(Intervalo tipo nulo)} \quad (\mathbf{6}.20)$$

$$(\Delta s)^2 > 0 \qquad \text{(Intervalo tipo temporal)} \quad (\mathbf{6}.21)$$

$$(\Delta s)^2 < 0 \qquad \text{(Intervalo tipo espacial)} \quad (\mathbf{6}.22)$$

Se um intervalo Δs possui um determinado tipo num referencial S, devido à invariância de Δs, ele possui esse mesmo tipo em qualquer outro referencial S'.

Sobre o intervalo entre dois eventos, são pertinentes as seguintes observações:

(1) Se os dois eventos são concernentes a um mesmo fóton, então $(\Delta s)^2 = 0$, pois sempre $c^2(\Delta t)^2 = (\Delta x)^2 + (\Delta y)^2 + (\Delta z)^2$.

(2) Se os dois eventos são concernentes a mesma partícula, existe um referencial S' (fixo em relação a partícula) em que os eventos ocorrem na mesma posição espacial, ou seja, $(\Delta x')^2 + (\Delta y')^2 + (\Delta z')^2 = 0$ e, portanto, $(\Delta s')^2 = c^2(\Delta t')^2 > 0$. Logo, nesse caso, o intervalo é tipo temporal. Pela invariância do intervalo, tem-se $(\Delta s)^2 = (c\Delta t)^2 - (\Delta x)^2 - (\Delta y)^2 - (\Delta z)^2 = c^2(\Delta t')^2 > 0 \Rightarrow \Delta t' = \frac{1}{c}\sqrt{c^2(\Delta t)^2 - (\Delta x)^2 - (\Delta y)^2 - (\Delta z)^2}$. Além disso, $c^2 > \frac{(\Delta x)^2 + (\Delta y)^2 + (\Delta z)^2}{(\Delta t)^2}$, ou seja, a partícula move-se com velocidade menor do que c.

(2) Se os dois eventos são simultâneos em algum referencial S', ou seja, $\Delta t' = 0$, então $(\Delta s')^2 = -(\Delta x')^2 - (\Delta y')^2 - (\Delta z')^2 < 0$. Logo, nesse caso, o intervalo é tipo espacial, e a distância entre as posições espaciais de ocorrência dos eventos é $\sqrt{(\Delta x')^2 + (\Delta y')^2 + (\Delta z')^2} = \sqrt{(c\Delta t)^2 - (\Delta x)^2 - (\Delta y)^2 - (\Delta z)^2}$.

6.2 Transformação de Lorentz

Dado um referencial S' que em relação a S move-se na direção positiva de x com velocidade v, de maneira que $y' = y$ e $z' = z$.

$$x' = a_{11}x + a_{12}\tau \tag{6.23}$$
$$\tau' = a_{21}x + a_{22}\tau \tag{6.24}$$

De **6**.19, tem-se:

$$\tau'^2 - x'^2 = \tau^2 - x^2 \tag{6.25}$$

Portanto:

$$(a_{21}x + a_{22}\tau)^2 - (a_{11}x + a_{12}\tau)^2 = \tau^2 - x^2 \tag{6.26}$$

$$(a_{22}^2 - a_{12}^2)\tau^2 - (a_{11}^2 - a_{21}^2)x^2 + 2(a_{21}a_{22} - a_{11}a_{12})\tau x = \tau^2 - x^2 \tag{6.27}$$

$$a_{22}^2 - a_{12}^2 = 1 \tag{6.28}$$
$$a_{11}^2 - a_{21}^2 = 1 \tag{6.29}$$
$$a_{21}a_{22} = a_{11}a_{12} \tag{6.30}$$

$$1 - \left(\frac{a_{12}}{a_{22}}\right)^2 = \frac{1}{a_{22}^2} \tag{6.31}$$
$$1 - \left(\frac{a_{21}}{a_{11}}\right)^2 = \frac{1}{a_{11}^2} \tag{6.32}$$
$$\frac{a_{12}}{a_{22}} = \frac{a_{21}}{a_{11}} \tag{6.33}$$

Substituindo (**6**.33) em (**6**.31) e comparando o resultado com (**6**.31), tem-se:

$$a_{22}^2 = a_{11}^2 \Rightarrow a_{22} = \pm a_{11} \tag{6.34}$$

Se $v = 0$, então $x = x'$ e $\tau = \tau'$ e, portanto, $a_{22} \neq -a_{11}$. Dessa forma:

$$a_{22} = a_{11} = \gamma. \tag{6.35}$$

Uma partícula que se mantém fixa em $x = 0$ com o passar do tempo t em um referencial S, é vista por um ponto fixo no referencial S' que se move com velocidade v para a direita, como se estivesse em movimento para a esquerda com velocidade $-v = x'/t'$. Além disso, fazendo $x = 0$, tem-se:

$$\frac{a_{12}}{a_{22}} = \frac{x'}{\tau'} = \frac{x'}{t'}\frac{1}{c} = \frac{-v}{c}. \tag{6.36}$$

Substituindo (**6**.35) e (**6**.36) em (**6**.31), tem-se:

$$\gamma = \frac{1}{\sqrt{1 - \frac{v^2}{c^2}}} \tag{6.37}$$

Se a partícula está em repouso ($v = 0$), então $\gamma = 1$.

Como a expressão $(1+a)^n \approx (1+na)$ é válida para $a << 1$, para partículas em baixas velocidades ($v << c$) tem-se:

$$\gamma = \frac{1}{\sqrt{1-\frac{v^2}{c^2}}} = \left(1-\frac{v^2}{c^2}\right)^{-1/2} \approx 1 + \frac{1}{2}\frac{v^2}{c^2} \tag{6.38}$$

A transformação de Lorentz é obtida como:

$$x' = \gamma x - \frac{v\gamma}{c}\tau \tag{6.39}$$

$$\tau' = \gamma\tau - \frac{v\gamma}{c}x \tag{6.40}$$

$$x' = \gamma(x - vt) \tag{6.41}$$

$$t' = \gamma(t - \frac{v}{c^2}x) \tag{6.42}$$

6.3 Simultaneidade

O gráfico da posição da partícula em função do tempo é chamado de *linha de mundo*, e cada ponto desse gráfico é um *ponto de universo*. Na figura 10, são mostradas as linhas de mundo para três partículas em repouso em relação ao referencial S, as quais estão localizadas nos pontos A, B e C (linhas verticais). Além disso, são mostradas as linhas de mundo de um sinal de rádio, o qual é enviado de B em $t = 0$. Como mostrado na figura, os eventos "chegada do sinal em A" e "chegada do sinal em B" são simultâneos, pois, ocorrem em tempos iguais $t_A = t_B$.

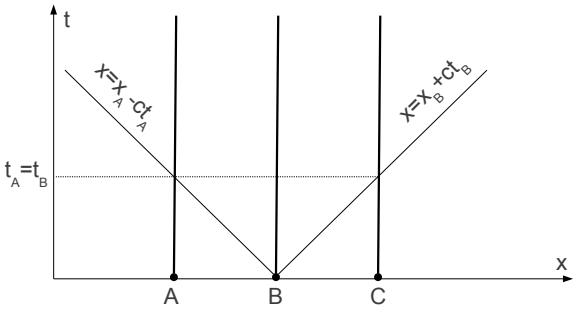


Figure 10: Os eventos "chegada do sinal em A" e "chegada do sinal em B" são simultâneos, pois, ocorrem em tempos iguais $t_A = t_B$ no referencial S.

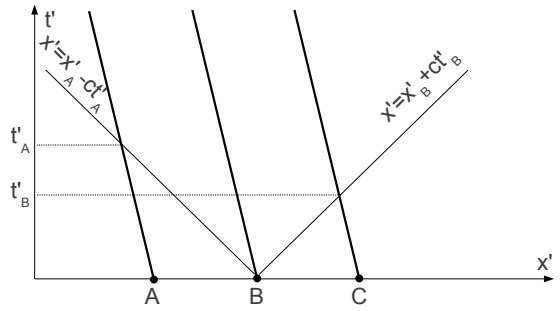


Figure 11: Os eventos "chegada do sinal em A" e "chegada do sinal em B" não são simultâneos, pois, ocorrem em tempos diferentes $t_A \neq t_B$ no referencial S'.

Essas três partículas, em um referencial S' que se desloca para a direita com relação ao referencial S, estão em repouso em relação a S, mas estão deslocando para a esquerda em relação a S', a medida que o tempo t' passa, como mostrado na figura 11. Os eventos "chegada do sinal em A" e "chegada do sinal em B" não são simultâneos, pois, ocorrem em tempos diferentes $t_A \neq t_B$.

Portanto, ao afirmar que dois eventos são simultâneos, é necessário especificar em qual referencial essa afirmação é verdadeira.

A existência de um referencial em que os eventos são simultâneos, permite criar um *método para sincronizar dois relógios*. Se dois relógios são colocados nos pontos A e C, e esses relógios são ligados no instante em que o sinal vindo de B os atinge, eles estarão sincronizados no referencial S.

6.4 Velocidade máxima das interações e causalidade

A trajetória descrita por uma partícula que se desloca em MRU (movimento retilíneo uniforme) ao longo do eixo x, passando pelo ponto de universo $O \equiv (t, x) = (0, 0)$, é uma reta (como a reta tracejada mostrada na figura 12), cuja tangente do ângulo formado com o eixo t é a velocidade da partícula. As equações $x = ct$ e $x = -ct$ descrevem as trajetórias dos fótons que se movem, respectivamente, nos sentidos $+x$ e $-x$. Se fossem mostradas as outras coordenadas a superfície $x^2 + y^2 + z^2 = ct$ corresponderia ao *cone de luz*.

Os intervalos entre dois eventos nas regiões azul e vermelha são do tipo temporal, portanto, não há eventos simultâneos nelas. A região azul ($t > 0$) é chamada de *futuro absoluto relativamente a O*, pois nela todos os eventos ocorrem "depois" de O. A região vermelha ($t < 0$) é chamada de *passado absoluto relativamente a O*, pois nela todos os eventos ocorrem "antes" de O. Dessa forma, dois eventos contidos nas regiões azul ou vermelha são *causalmente relacionados*, e as interações propagam numa velocidade menor do que c.

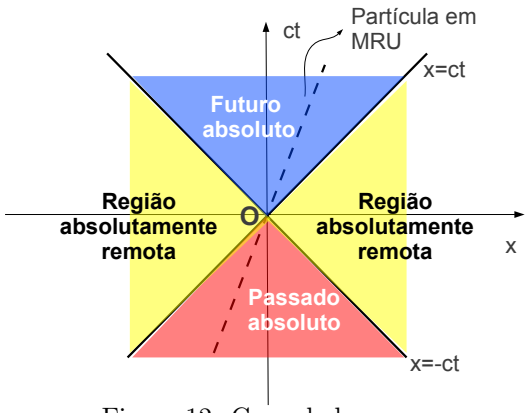


Figure 12: Cone de luz.

O intervalo entre O e um ponto P qualquer da região amarela é do tipo espacial, portanto, os eventos O e P sempre representam diferentes pontos espaciais. Por isso, a região amarela é chamada de *região absolutamente remota relativamente a O*. O evento P pode ser simultâneo a O, estar no futuro de O, ou no passado de O, dependendo do referencial. Dessa forma, nessa região os eventos não são *causalmente relacionados*.

6.5 Dilatação temporal

Um relógio move-se com velocidade v em um referencial S, percorrendo uma distância $\sqrt{(\Delta x)^2 + (\Delta y)^2 + (\Delta z)^2}$ num tempo Δt. Em um referencial S' que se move com relação a S, mas fixo em relação ao relógio, tem-se $\Delta x' = \Delta y' = \Delta z' = 0$, e $\Delta t'$ é chamado de tempo próprio. Devido a invariância do intervalo relativístico tem-se:

$$(\Delta s')^2 = (\Delta s)^2 \tag{6.43}$$

$$(c\Delta t')^2 - (\Delta x')^2 - (\Delta y')^2 - (\Delta z')^2 = (c\Delta t)^2 - (\Delta x)^2 - (\Delta y)^2 - (\Delta z)^2 \tag{6.44}$$

$$(c\Delta t')^2 = (c\Delta t)^2 - (\Delta x)^2 - (\Delta y)^2 - (\Delta z)^2 \tag{6.45}$$

$$(\Delta t')^2 = (\Delta t)^2 \left[1 - \frac{1}{c^2}\frac{(\Delta x)^2 - (\Delta y)^2 - (\Delta z)^2}{(\Delta t)^2}\right] \tag{6.46}$$

$$(\Delta t')^2 = (\Delta t)^2 \left[1 - \frac{v^2}{c^2}\right] \Rightarrow \Delta t = \gamma \Delta t' \tag{6.47}$$

Dessa forma, no referencial em que o relógio está em movimento, o tempo parecerá dilatado. Contudo, é um erro querer comparar o tempo de relógios espacialmente afastados, pois, a informação do tempo de um relógio teria de chegar instantaneamente no outro relógio, o que não é possível. Portanto, para observar a dilatação temporal de maneira correta, é preciso dispor de um conjunto de relógios sincronizados, espacialmente afastados, os quais podem ser obtidos através do *método para sincronizar dois relógios* descrito anteriomente, em relação ao qual o relógio em movimento é comparado.

Experimentos com relógios atômicos de elevada precisão em aviões corroboraram a dilatação do tempo prevista pela relatividade especial.

6.5.1 Paradoxo dos gêmeos

Se dois irmãos gêmeos ligarem os cronômetros de seus relógios no momento em que um deles parte em uma viagem espacial em uma nave que em $\Delta t' = 9$ anos se afasta de $7,2$ anos-luz da Terra até uma estação espacial, para o irmão que ficou na Terra, terão passado $\Delta t = 15$ anos, e será 12 anos mais velho que o irmão, quando ele retornar (isso é conhecido como *paradoxo dos gêmeos*). Todavia, o gêmeo-astronauta poderia contestar que ele é quem seria o mais velho, pois, no referencial S' do seu relógio, o gêmeo-não-astronauta é quem estaria em movimento. Porém, o gêmeo-não-astronauta é quem é um observador inercial, e pode contar com um conjunto de relógios fixos e sincronizados distribuidos ao longo do espaço. Ao contrário do gêmeo-astronauta que acelera ao sair da Terra, ao inverter o sentido do movimento e ao pousar na Terra, alterando constantemente o seu referencial. Igualmente, caso o gêmeo-astronauta estivesse fazendo uma viagem espacial em uma trajetória em órbita em torno da Terra, os referenciais seriam inerciais apenas sob o ponto de vista do gêmeo-não-astronauta.

6.5.2 Decaimento de múons

Os ráios cósmicos provenientes do espaço sideral dão origem a múons na atmosfera terrestre, os quais se deslocam com velocidades médias $v = 0,992c$, indo em direção a superfície. A vida média de um múon em repouso é $T = 2,2 \times 10^{-}6\ s$. Em 1963, em um experimento, foram detectados 550 múons no alto do Monte Washington, numa altitude $h = 1907\ m$, e no mesmo período foram detectados 397 múons ao nível do mar. Utilizando a equação de decaimento, dado que N_0 é o número de múons no instante $t_0 = 0$, o número N de múons decorrido um tempo t é:

$$N = N_0\ exp(-\frac{t}{T}) = N_0\ exp(-\frac{h/v}{T}) \approx 30 \text{ múons.} \tag{6.48}$$

Nota-se que esse resultado não está de acordo com o número de partículas que foram detectadas. Todavia, pela relatividade especial, deve ocorrer a dilatação do tempo para uma partícula em movimento, portanto, para a partícula o tempo decorrido t' foi menor, dado por:

$$t' = \frac{t}{\gamma} = \frac{t}{\frac{1}{\sqrt{1-\frac{v^2}{c^2}}}} = \frac{t}{7,9216}. \tag{6.49}$$

Portanto:

$$N = N_0\ exp(-\frac{t'}{T}) = N_0\ exp(-\frac{h/v}{7,9216 \times T}) \approx 381 \text{ múons.} \tag{6.50}$$

Considerando que esses valores são aproximados, vê-se que a dilatação temporal consegue explicar o fato de os múos mesmo sendo tão instáveis conseguirem atingir a superfície da Terra.

7 Transformação de velocidades

Considere um referencial S, e um segundo referencial S' que se move para a direita ao longo do eixo x com velocidade v constante em relação ao referencial S. Um evento é representado respectivamente por (ct, x, y, z) e (ct', x', y', z') nos referenciais S e S'. As coordenadas se relacionam pela transformação de Lorentz (**5**.23). Ao derivar a equação (**5**.23) com relação a t, obtém-se:

$$\frac{d}{dt}x' = \frac{d}{dt}\left[\gamma(x - vt)\right] = \gamma\left(\frac{dx}{dt} - v\right)$$
$$\frac{d}{dt}y' = \frac{d}{dt}y$$
$$\frac{d}{dt}z' = \frac{d}{dt}z$$
$$\frac{d}{dt}t' = \frac{d}{dt}\left[\gamma(t - vx/c^2)\right] = \gamma\left(1 - \frac{v}{c^2}\frac{dx}{dt}\right)$$

Se $\vec{u} = (u_x, u_y, u_z)$ e $\vec{u'} = (u'_x, u'_y, u'_z)$ são os vetores velocidade de uma partícula respectivamente nos referenciais S e S', então:

$$u'_x = \frac{dx'}{dt'} = \frac{dx'}{dt}\frac{dt}{dt'} = \frac{\frac{dx'}{dt}}{\frac{dt'}{dt}} = \frac{\gamma\left(\frac{dx}{dt} - v\right)}{\gamma\left(1 - \frac{v}{c^2}\frac{dx}{dt}\right)} = \frac{u_x - v}{1 - \frac{v}{c^2}u_x} \tag{7.1}$$

$$u'_y = \frac{dy'}{dt'} = \frac{dy'}{dt}\frac{dt}{dt'} = \frac{dy}{dt}\frac{dt}{dt'} = \frac{dy}{dt}\frac{dt}{dt'} = \frac{u_y}{\gamma\left(1 - \frac{v}{c^2}u_x\right)} \tag{7.2}$$

$$u'_z = \frac{dz'}{dt'} = \frac{dz'}{dt}\frac{dt}{dt'} = \frac{dz}{dt}\frac{dt}{dt'} = \frac{dz}{dt}\frac{dt}{dt'} = \frac{u_z}{\gamma\left(1 - \frac{v}{c^2}u_x\right)} \tag{7.3}$$

$$\frac{d}{dt}t' = \frac{d}{dt}\left[\gamma(t - vx/c^2)\right] = \gamma\left(1 - \frac{v}{c^2}\frac{dx}{dt}\right) = \gamma\left(1 - \frac{v}{c^2}u_x\right) \tag{7.4}$$

No limite clássico ($c \to \infty$), tem-se:

$$u'_x = u_x - v, \;\; u'_y = u_y \;\; \text{e} \;\; u'_z = u_z. \tag{7.5}$$

Fazendo $u_x = \frac{\Delta x}{\Delta t}$, $u_y = \frac{\Delta y}{\Delta t}$, $u_z = \frac{\Delta z}{\Delta t}$, $u'_x = \frac{\Delta x'}{\Delta t'}$, $u'_y = \frac{\Delta y'}{\Delta t'}$ e $u'_z = \frac{\Delta z'}{\Delta t'}$, temos:

$$\frac{\Delta x'}{\Delta t'} = \frac{\frac{\Delta x}{\Delta t} - v}{1 - \frac{v}{c^2}\frac{\Delta x}{\Delta t}} \qquad \Delta x' = \gamma(\Delta x - v\Delta t) \tag{7.6}$$

$$\frac{\Delta y'}{\Delta t'} = \frac{\frac{\Delta y}{\Delta t}}{\gamma\left(1 - \frac{v}{c^2}\frac{\Delta x}{\Delta t}\right)} \Rightarrow \qquad \Delta y' = \Delta y \tag{7.7}$$

$$\frac{\Delta z'}{\Delta t'} = \frac{\frac{\Delta z}{\Delta t}}{\gamma\left(1 - \frac{v}{c^2}\frac{\Delta x}{\Delta t}\right)} \qquad \Delta z' = \Delta z \tag{7.8}$$

$$\frac{\Delta t'}{\Delta t} = \gamma\left(1 - \frac{v}{c^2}\frac{\Delta x}{\Delta t}\right) \qquad \Delta t' = \gamma(\Delta t - \frac{v}{c^2}\Delta x) \tag{7.9}$$

7.1 Contração das distâncias

Seja uma régua localizada ao longo do eixo x. Para dois eventos no referencial em repouso S, um deles em (ct_i, x_i, y_i, z_i), localizado na extremidade inicial da régua, e o outro em (ct_f, x_f, y_f, z_f), localizado na extremidade final da régua, os quais podem ser representados respectivamente em S' como $(ct'_i, x'_i, y'_i, z'_i)$ e $(ct'_f, x'_f, y'_f, z'_f)$, com S' sendo um referencial que se move para a direita ao longo do eixo x com velocidade v constante em relação ao referencial S.

Obviamente, o tamanho da régua em S é $L_0 = x_f - x_i$. O tamanho da régua $L = x'_f - x'_i$ é obtido no referencial S' quando os eventos inicial e final no referencial S' forem simultâneos ($t'_f = t'_i \Rightarrow \Delta t' = t'_f - t'_i = 0$). Permutar S e S' equivale a trocar v por $-v$, portanto, é possível reescrever (**7**.6) como

$$\Delta x = \gamma(\Delta x' + v\Delta t'). \tag{7.10}$$

Dessa forma, o comprimento L da régua no referencial S' é:

$$\Delta x = \gamma(\Delta x' + v\Delta t') \Rightarrow L_0 = \gamma L \Rightarrow L = \frac{L_0}{\gamma}. \tag{7.11}$$

Portanto, os comprimentos são contraídos na direção do movimento.

7.2 Aberração relativística

O efeito de *aberração da luz* ilustrado na figura 3 é explicado pela relatividade especial. Considerando uma partícula que se move sobre o plano xy, tem-se:

$$tan\theta' = \frac{sen\theta'}{cos\theta'} = \frac{u'\ sen\theta'}{u'\ cos\theta'} = \frac{u'_y}{u'_x} = \frac{\frac{u_y}{\gamma\left(1-\frac{v}{c^2}u_x\right)}}{\frac{\gamma(u_x-v)}{\gamma\left(1-\frac{v}{c^2}u_x\right)}} = \frac{u_y}{\gamma\left(u_x-v\right)} = \frac{u\ sen\theta}{\gamma\left(u\ cos\theta-v\right)}. \tag{7.12}$$

Para um fóton $u = u' = c$. Portanto:

$$\begin{aligned}
\frac{sen\theta'}{cos\theta'} &= \frac{sen\theta}{\gamma\left(cos\theta-\frac{v}{c}\right)} \\
sen\theta'\gamma\left(cos\theta-\frac{v}{c}\right) &= sen\theta cos\theta' \\
\gamma sen\theta' cos\theta - sen\theta cos\theta' &= \frac{v}{c}sen\theta'
\end{aligned} \tag{7.13}$$

Como $v << c$:

$$\begin{aligned}
\left(1-\frac{v^2}{2c^2}\right)sen\theta' cos\theta - sen\theta cos\theta' &= \frac{v}{c}sen\theta' \\
sen(\theta'-\theta) - \frac{v^2}{2c^2}sen\theta' cos\theta &= \frac{v}{c}sen\theta'
\end{aligned} \tag{7.14}$$

Fazendo $\Delta\theta = \theta' - \theta$, e $sen\Delta\theta \approx \Delta\theta$ (pois $\Delta\theta \approx 0$):

$$\Delta\theta = \frac{v}{c}sen\theta' + \frac{v^2}{2c^2}sen\theta' cos\theta. \tag{7.15}$$

Além disso, se $\frac{v^2}{c^2} \approx 0$:

$$\Delta\theta = \frac{v}{c}sen\theta'. \tag{7.16}$$

Essa expressão coincide com a que foi proposta por James Bradley em 1829 para a *aberração estelar*, a qual foi utilizada no cálculo de c.

7.3 Efeito Doppler

Dado um referencial S de cuja origem uma fonte envia pulsos de radar: o primeiro pulso é enviado em $t = 0$ com o observador em $x = x_0$ e o $(n+1)$-ésimo pulso é enviado quando $t = n\tau$, pois a frequência da fonte é $f = 1/\tau$. O observador move-se com velocidade v e está em repouso em relação ao referencial S'. Todas essas informações são mostradas no gráfico da figura 13. Dessa forma, tem-se:

$$x_1 = ct_1 = x_0 + vt_1 \tag{7.17}$$

$$x_2 = c(t_2 - n\tau) = x_0 + vt_2 \tag{7.18}$$

Portanto:

$$t_2 - t_1 = \frac{nc\tau}{c-v} \tag{7.19}$$

$$x_2 - x_1 = c(t_2-t_1) - nc\tau \Rightarrow x_2 - x_1 = \frac{ncv\tau}{c-v} \tag{7.20}$$

Pela transformação de Lorentz, tem-se:

$$t'_2 - t'_1 = \gamma\left[(t_2-t_1) - v(x_2-x_1)/c^2\right] = \gamma\left[\frac{nc\tau}{c-v} - \frac{v}{c^2}\frac{ncv\tau}{c-v}\right] = \gamma\frac{nc\tau}{c-v}\left[1-\frac{v}{c^2}\right] \tag{7.21}$$

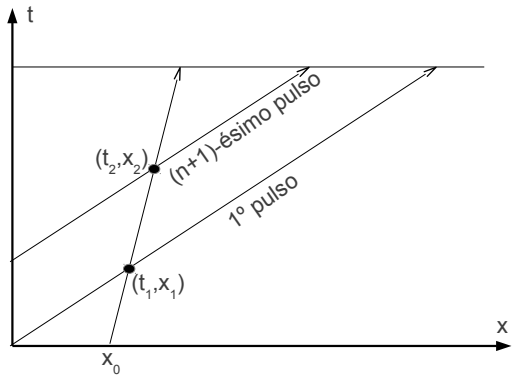


Figure 13: Efeito Doppler

Assim, o período aparente do sinal recebido pelo observador é:

$$\tau' = \frac{t'_2 - t'_1}{n} = \gamma \frac{c\tau}{c - v}\left[1 - \frac{v}{c^2}\right] = \gamma(1+\beta)\tau \tag{7.22}$$

onde $\beta = v/c$. Como $\gamma = (1-\beta)^{-1/2}$, tem-se:

$$\tau' = \left(\frac{1+\beta}{1-\beta}\right)^{1/2} \tau \tag{7.23}$$

Em termos da frequência, tem-se:

$$f' = \left(\frac{1-\beta}{1+\beta}\right)^{1/2} f \tag{7.24}$$

Em termos do comprimento de onda, tem-se:

$$\lambda' = \frac{c}{f'} = \left(\frac{1+\beta}{1-\beta}\right)^{1/2} \frac{c}{f} = \left(\frac{1+\beta}{1-\beta}\right)^{1/2} \lambda \tag{7.25}$$

Fazendo $\gamma = 1$ (caso clássico) em (**7**.22), e multiplicando por c, tem-se:

$$\lambda' = (1+\beta)\lambda \tag{7.26}$$

7.3.1 Deslocamento para o vermelho

Da equação **7**.25, tem-se:

$$\beta = \frac{(\lambda'/\lambda)^2 - 1}{(\lambda'/\lambda)^2 + 1} \tag{7.27}$$

Em 1929, Hubble observou que quanto mais distante está uma galáxia maior é o seu deslocamento para o vermelho (translação das linhas espectrais no sentido em que ocorre o aumento dos comprimentos de onda), e interpretou isso como uma evidência de que o universo está em expansão. Por exemplo, considerando as linhas espectrais do hidrogênio, se a linha espectral com $\lambda' = 656\ nm$ é deslocada para $\lambda = 1458\ nm$, então a velocidade de afastamento da galáxia, calculada a partir de **7**.27, é $v = 0,664c$.

7.3.2 Experimento de Ives-Stilwell

Em 1938, Ives e Stilwell realizaram um experimento em que comprovaram a dilatação temporal [22]. Descargas em gás hidrogênio produzem íons H_2^+ e H_3^+, os quais atravessam um campo elétrico com cerca de 10 keV, e são dissociados e neutralizados ao colidem com moléculas de gás hidrogênio, dando origem a átomos de hidrogênio excitados que se movem com velocidade v, e também a átomos excitados em repouso. A luz resultante da transição H_β na série de Balmer é observada no sentido do movimento dos átomos de hidrogênio (a 0°); no sentido oposto (a 180°), com a ajuda de um espelho; e para átomos em repouso. O comprimento de onda λ'', a 0°, pode ser obtido pelo desenvolvimento de (**7**.25) em série de Taylor:

$$\lambda'' = \left(1 - \beta + \frac{1}{2}\beta^2 - ...\right)\lambda \tag{**7**.28}$$

Em que λ é o comprimento de onda da radiação emitida pelos átomos de hidrogênio excitados e que estão em repouso. O comprimento de onda λ', a 180°, pode ser obtido pelo desenvolvimento de (**7**.28) trocando o sinal de v:

$$\lambda' = \left(1 + \beta + \frac{1}{2}\beta^2 + ...\right)\lambda \tag{**7**.29}$$

Para o caso clássico, o termo com β^2 pode ser desprezado:

$$\lambda'' = (1 - \beta)\,\lambda \tag{**7**.30}$$

$$\lambda' = (1 + \beta)\,\lambda \tag{**7**.31}$$

Tanto no caso relativístico quanto no caso clássico, é possível definir $\Delta\lambda_1$:

$$\Delta\lambda_1 = \frac{\lambda' - \lambda''}{2} = \beta\lambda \tag{**7**.32}$$

As médias entre λ_1 e λ_2, para os casos relativístico e clássico, são, respectivamente:

$$\bar{\lambda} = \frac{\lambda' + \lambda''}{2} = (1 + \frac{1}{2}\beta^2)\lambda \tag{**7**.33}$$

e

$$\bar{\lambda} = \frac{\lambda' + \lambda''}{2} = \lambda \tag{**7**.34}$$

A diferença $\Delta\lambda_2 = \bar{\lambda} - \lambda$, para os casos relativístico e clássico, são, respectivamente:

$$\Delta\lambda_2 = \bar{\lambda} - \lambda = \frac{1}{2}\lambda\beta^2 = \frac{1}{2\lambda}(\Delta\lambda_1)^2 \tag{**7**.35}$$

e

$$\Delta\lambda_2 = \bar{\lambda} - \lambda = 0 \tag{**7**.36}$$

Os resultados obtidos no experimento de Ives-Stilwell confirmaram (**7**.35).

8 Massa relativística

Outra consequência da teoria da relatividade especial é que a massa de um corpo depende da sua velocidade [23]. Esse fenômeno foi comprovada experimentalmente com partículas β ainda em 1909 [24]. Considere um referencial S' que se move com velocidade constante v ao longo do eixo x em relação a outro referencial S. João em repouso com relação a S lança uma esfera de massa m_0 com velocidade u_y. José em repouso com relação a S' lança uma esfera idêntica com velocidade u'_y. Essas esferas sofrem uma colisão perfeitamente elástica, portanto, João observa uma variação do momento linear para a esfera que ele lançou de $2m_0u_y$. Se João observa uma massa igual a m_0 para a esfera lançada por José, de (**7**.4) obtém-se que João observa uma variação do momento linear para a esfera que José lançou de $2m_0u'_y = 2m_0u_y/\gamma$, o que vai contra o princípio de conservação do momento linear. Para manter a validade desse princípio é necessário considerar que João observa uma massa igual a $m = \gamma m_0$ para a esfera lançada por José. Logo:

$$m = m_0\gamma = \frac{m_0}{\sqrt{1 - \frac{v^2}{c^2}}} \tag{**8**.1}$$

A massa m_0 é conhecida como massa própria ou massa de repouso da partícula, e m é a massa relativística.

9 Energia cinética relativística

A energia cinética de uma partícula em repouso é igual a zero. Uma força $\vec{F} = F\hat{x}$ atuando sobre uma partícula ao longo do eixo x realiza um trabalho igual à variação da energia cinética. Dessa forma, se essa partícula encontra-se inicialmente em repouso, quando sua velocidade for igual a v, a sua energia cinética K será:

$$\begin{aligned} K &= K - 0 = \int_{x_{inicial}}^{x_{final}} F\ dx = \int_{x_{inicial}}^{x_{final}} \frac{d}{dt}(mu)\, dx = \int_{x_{inicial}}^{x_{final}} \frac{d}{dx}(mu)\frac{dx}{dt}dx = \int_{x_{inicial}}^{x_{final}} \frac{d}{dx}(mu)\, dx\frac{dx}{dt} \\ &= \int_0^v d(mu)\, u = \int_0^u (mdu + udm)\, u = \int_0^u \left(mudu + u^2 dm\right) \end{aligned} \tag{9.1}$$

De (**8**.1):

$$m^2c^2 - m^2u^2 = m_0^2c^2 \Rightarrow 2mc^2dm - 2m^2udu - 2u^2mdm = 0 \Rightarrow c^2dm = mudu + u^2dm \tag{9.2}$$

Portanto:

$$K = \int_0^u c^2 dm = mc^2 - m_0c^2\ , \tag{9.3}$$

Logo, a energia cinética relativística é:

$$K = (\gamma - 1)\, m_0c^2\ . \tag{9.4}$$

Como era de esperar-se $K = 0$ para uma partícula em repouso ($\gamma = 1$). Para uma partícula de baixa velocidade ($v << c$) é preciso substituir (**6**.38) em (**9**.4):

$$K = \left(1 + \frac{1}{2}\frac{v^2}{c^2} - 1\right) m_0c^2 = \frac{1}{2}m_0v^2, \tag{9.5}$$

que corresponde à energia cinética da mecânica clássica. Dessa forma, para baixas velocidades ($v << c$), a velocidade clássica v é:

$$v = \sqrt{\frac{2K}{m_0}}\ . \tag{9.6}$$

A seu turno, segundo a relatividade especial a expressão correta é:

$$v = c\sqrt{1 - \left(1 + \frac{K}{m_0c^2}\right)^{-2}}\ , \tag{9.7}$$

a qual é obtida substituindo **5**.52 em **9**.4 e isolando v.

Um experimento didático que comprova esses resultados foi realizado por Bertozzi e Aron [25], nesse experimento elétrons recebiam energias cinéticas em MeV por meio de um acelerador linear, e as velocidades eram calculadas através da medição dos tempos necessários para que esses elétrons percorressem uma distância de 8.4 m. Na figura 14, esses resultados experimentais são comparados aos obtidos tanto pela mecânica clássica (**9**.6) quanto pela mecânica relativística (**9**.7), utilizando $m_0 = 0.511\ Mev/c^2$. Analisando essa figura, vê-se que os resultados experimentais alçam a mecânica relativística à condição de teoria mais exata, mostrando que a mecânica clássica não é uma teoria de todo precisa.

Fazendo o limite no infinito para (**9**.6):

$$\lim_{K\to\infty} v = \lim_{K\to\infty} \sqrt{\frac{2K}{m_0}} = \infty\ . \tag{9.8}$$

Por outro lado, o limite no infinito para (**9**.7) é:

$$\lim_{K\to\infty} v = \lim_{K\to\infty} c\sqrt{1 - \left(1 + \frac{K}{m_0c^2}\right)^{-2}} = c\ . \tag{9.9}$$

Comparando (**9**.8) e (**9**.9), conclui-se que diferentemente do que ocorre para a mecânica clássica, na mecânica relativística existe um velocidade máxima (igual a c) que limita o movimento das partículas.

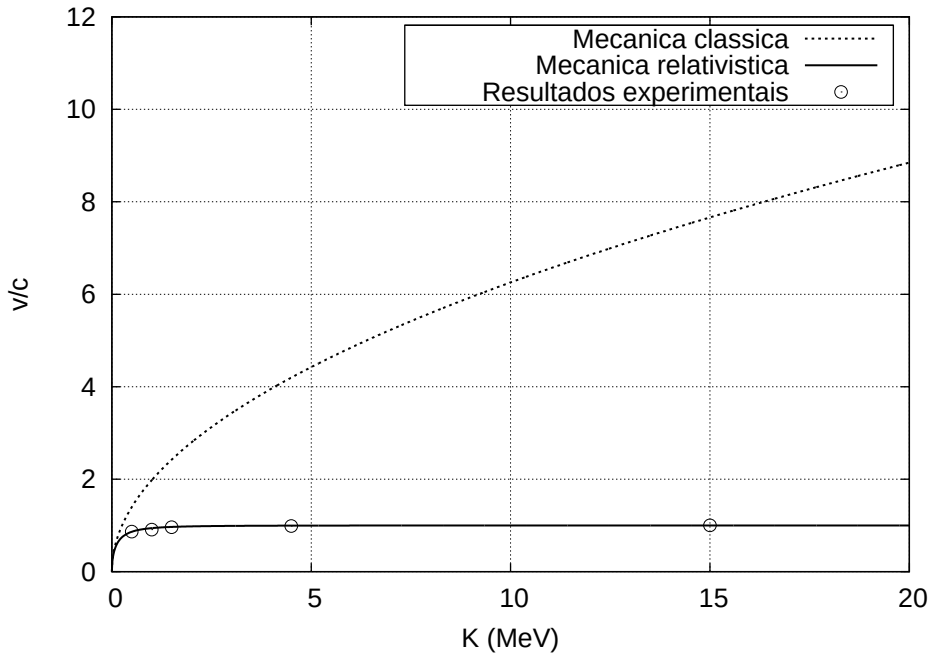


Figure 14: Comparação de curvas K (Mev) versus v/c entre: resultados experimentais [25], previstos pela mecânica clássica (**9**.6) e previstos pela mecânica relativística (**9**.7).

10 Energia relativística

E a energia relativística é:

$$E = \gamma m_0 c^2 = mc^2 = K + m_0 c^2 \ . \tag{**10**.1}$$

A energia relativística também pode ser expressa como:

$$\begin{aligned} m^2c^4 - m_0^2c^4 = \gamma^2 m_0^2 c^4 - m_0^2 c^4 = m_0^2 c^4(\gamma^2 - 1) \\ = m_0^2 c^4 \left(\frac{1}{1 - \frac{v^2}{c^2}} - 1 \right) = m_0^2 c^4 \left(\frac{\frac{v^2}{c^2}}{1 - \frac{v^2}{c^2}} \right) \\ = \frac{m_0^2 c^2 v^2}{1 - \frac{v^2}{c^2}} = m^2 c^2 v^2 = c^2 p^2 \\ \Rightarrow E^2 = c^2 p^2 + m_0^2 c^4 \end{aligned} \tag{**10**.2}$$

A Cálculo de c

Os fenômenos eletromagnéticos são descritos pelas equações de Maxwell:

$$\nabla \times \vec{E} = -\frac{\partial \vec{B}}{\partial t} \qquad \text{(Lei de Faraday)} \tag{A.1}$$

$$\nabla \times \vec{H} = \vec{J} + \frac{\partial \vec{D}}{\partial t} \qquad \text{(Lei de Ampere)} \tag{A.2}$$

$$\nabla \cdot \vec{D} = \rho \qquad \text{(Lei de Gauss do campo elétrico)} \tag{A.3}$$

$$\nabla \cdot \vec{B} = 0 \qquad \text{(Lei de Gauss do campo magnético)} \tag{A.4}$$

onde $\vec{E}$ e $\vec{H}$ são, respectivamente, os campos elétrico e magnético; ρ e $\vec{J}$ são, respectivamente, as densidades de carga e de corrente; e $\vec{D}$ e $\vec{B}$ são, respectivamente, as densidades de fluxo elétrico e magnético.

Utilizando a identidade vetorial $\nabla \cdot (\nabla \times \vec{H}) = 0$ em (**A**.2), obtém-se:

$$\nabla \cdot \vec{J} = -\frac{\partial \rho}{\partial t} \qquad \text{(Eq. da continuidade)} \tag{A.5}$$

Para um meio linear de permissividade elétrica relativa ε_r, permeabilidade magnética μ_r e condutividade elétrica σ, valem as relações constitutivas:

$$\vec{D} = \varepsilon_r \varepsilon_0 \vec{E}, \qquad \vec{B} = \mu_r \mu_0 \vec{H} \qquad \text{e} \qquad \vec{J} = \sigma \vec{E}, \tag{A.6}$$

onde $\varepsilon_0 = 8,85 \times 10^{-12} F/m$ e $\mu_0 = 1,26 \times 10^{-6} A/m$. Para o vácuo ($\varepsilon_r = 1$, $\mu_r = 1$, $\sigma = 0$), na ausência de cargas e correntes $\rho = 0$ e $\vec{J} = 0$, utilizando a identidade vetorial $\nabla \times (\nabla \times \vec{E}) = \nabla(\nabla \cdot \vec{E}) - \nabla^2 \vec{E}$, e as equações (**A**.1), (**A**.2), (**A**.3) e (**A**.6) , obtém-se:

$$\nabla^2 \vec{E} = \frac{1}{\mu_0 {\varepsilon_0}^2} \frac{\partial^2 \vec{E}}{\partial t^2} = \frac{1}{c^2} \frac{\partial^2 \vec{E}}{\partial t^2} \qquad \text{(Equação de onda)} \tag{A.7}$$

Além disso, utilizando a identidade vetorial $\nabla \times (\nabla \times \vec{H}) = \nabla(\nabla \cdot \vec{H}) - \nabla^2 \vec{H}$, e as equações (**A**.1), (**A**.2), (**A**.4) e (**A**.6) , obtém-se:

$$\nabla^2 \vec{H} = \frac{1}{\mu_0 {\varepsilon_0}^2} \frac{\partial^2 \vec{H}}{\partial t^2} = \frac{1}{c^2} \frac{\partial^2 \vec{H}}{\partial t^2} \qquad \text{(Equação de onda)} \tag{A.8}$$

Em equações da forma (**A**.7) e (**A**.8), c representa a velocidade da onda, portanto, a onda eletromagnética propaga no vácuo com velocidade c igual a:

$$c = \frac{1}{\sqrt{\mu_0 \varepsilon_0}} = 299\ 792\ 458\ m/s \tag{A.9}$$

B Pressão de radiação

Considere uma onda plana com os campos elétrico (de magnitude E) e magnético (de magnitude B) polarizados nas direções x e y, respectivamente, e que a onda desloca-se na direção z, até atingir a superfície de um objeto constituido por um material altamente resistivo. O campo elétrico move o elétron de carga $-e$ com uma força $F_E = -eE$. A alta resistividade resulta em um fator de amortecimento considerável, capaz de fazer com que uma força dissipativa leve o movimento ao equilíbrio, fazendo o elétron mover-se com velocidade constante v_e. Assim, esse elétron estará se movimentando numa direção perpendicular ao campo magnético de intensidade B, e portanto, uma força magnética $F_z = -ev_eB$ estará sendo exercida sobre o objeto.

Se U_e é a energia absorvida pelo elétron, então:

$$\frac{dU_e}{dt} = F_E v_e = -eEv_e \tag{B.1}$$

Por sua vez, se p_e é o momento linear exercido sobre o elétron e dado que $B = E/c$, tem-se:

$$\frac{dp_e}{dt} = -ev_eB = -ev_e\frac{E}{c} = \frac{1}{c}\frac{dU_e}{dt} \tag{B.2}$$

$$\int_0^t \frac{dp_e}{dt} dt = \frac{1}{c} \int_0^t \frac{dU_e}{dt} dt \tag{B.3}$$

$$p_e = \frac{U_e}{c} \tag{B.4}$$

References

[1] A. Einstein, "Zur Elektrodynamik bewegter Körper," *Annalen der Physik* **17** (1905) 891–921. `Artigo-Einstein-1905a`.

[2] A.P. French, *Special Relativity.* English Language Book Society (1972) 286 p.

[3] L.D. Landau and E.Lifchitz, *The Classical Theory of Fields.* Butterworth-Heinemann (1975) 402 p.

[4] R. Hooke, *Micrographia, or, Some physiological descriptions of minute bodies made by magnifying glasses with observations and inquiries thereupon.* London : Jo. Martyn and Ja. Allestry (1665) 323 p. `Livro-Hooke-1665`.

[5] I. Newton, "A Letter of Mr. Isaac Newton containing his New Theory about Light and Colors," *Philosophical Transactions of the Royal Society* **6** (1671/72) 3075-3087. `Artigo-Newton-1671/72`.

[6] C. Huygens, *Traité de la Lumière.*. Leyde : Pierre vander Aa (1690) 180 p. `Livro-Huygens-1690`.

[7] T. Young, "The Bakerian Lecture: Experiments and Calculations Relative to Physical Optics," *Philosophical Transactions of the Royal Society of London* **94** (1804) 1-16. `Artigo-Young-1804`.

[8] A. Fresnel, "Mémoire sur la diffraction de la lumière ," *Annales de Chimie et de Physique* **1** (1818) 339-475. `Artigo-Fresnel-1818`.

[9] J. Bradley, "An account of the new discovered motion of the fixed stars," *Phil. Trans. R. Soc.* **35** (1729) 637-661. `Artigo-Bradley-1729`.

[10] H. Fizeau, "Sur une expérience relative à la vitesse de propagation de la lumiére," *Comptes Rendus* **29** (1849) 90-92. `Artigo-Fizeau-1849`.

[11] J.B.L. Foucault, "Détermination expérimentale de la vitesse de la lumière: parallaxe du Soleil," *Comptes Rendus* **55** (1862) 501-503.

[12] J.C. Maxwell, "A Dynamical Theory of the Electromagnetic Field," *J Philosophical Transactions of the Royal Society of London* **155** (1865) 459-512. `Artigo-Maxwell-1865`.

[13] R. Kohlrausch and W. Weber, "Elektrodynamische Maassbestimmungen insbesondere Zurückführung der Stromintensitãts-Messungen auf mechanisches Maass," *Abhandlungen der Königl. Sächs. Gesellschaft der Wissenschaften, mathematisch-physische Klasse* **3** (1857) 221-290.

[14] A. Einstein, "Ueber einen die Erzeugung und Verwandlung des Lichtes betreffenden heuristischen Gesichtspunkt," *Annalen Der Physik* **322** (1905) 132-148. `Artigo-Einstein-1905b`.

[15] J.C. Maxwell, *A treatise on electricity and magnetism.* Oxford : Clarendon Press (1873) 504 p. `Livro-Maxwell-1873`.

[16] E. F. Nichols and G. F. Hull, "A Preliminary communication on the pressure of heat and light radiation," *Phys. Rev.* **13** (1901) 307-320. `Artigo-Nichols-1901`.

[17] A.A. Michelson and E. Morley, "On the Relative Motion of the Earth and the Luminiferous Ether," *American Journal of Science* **34** (1887) 333-345. `Artigo-Michelson-1887`.

[18] G. F. FitzGerald, "The Ether and the Earth's Atmosphere," *Science* **13** (1889) 390.

[19] H.A. Lorentz, "De relatieve beweging van de aarde en den aether," *Zittingsverlag Akad. v. Wet.* **1** (1892) 74-80.

[20] R.J. Kennedy and E.M. Thorndike, "Experimental Establishment of the Relativity of Time," *Phys. Rev.* **42** (1932) 400-418.

[21] H. A. Lorentz, "Electromagnetic phenomena in a system moving with any velocity smaller than that of light," *Proceedings of the Royal Netherlands Academy of Arts and Sciences* **6** (1904) 809-831. `Artigo-Lorentz-1904`.

[22] H. E. Ives and G. R. Stilwell, "An Experimental Study of the Rate of a Moving Clock," *J. Opt. Soc. Am.* **28** (1938) 215-226.

[23] G.N. Lewis and R.C. Tolman, "The Principle of Relativity and Non-Newtonian Mechanics," *Proceedings of the American Academy of Arts and Sciences* **44** (1909) 711-724.

[24] A. Bucherer, "Die experimentelle Bestatigung des Relativitatsprinzips," *Annalen der Physik* **28** (1909) 513-536.

[25] W. Bertozzi and I. Aron, "The Ultimate Speed," *American Journal of Physics* **32** (1964) 234-235. `Artigo-Bertozzi-1964`.

Tiago Carvalho Martins is currently professor at the *Universidade Federal do Sul e Sudeste do Pará*, Marabá, Brazil. Dr. Tiago Carvalho Martins is interested in computational physics and optimization techniques applied to electromagnetic problems.